



Supélec



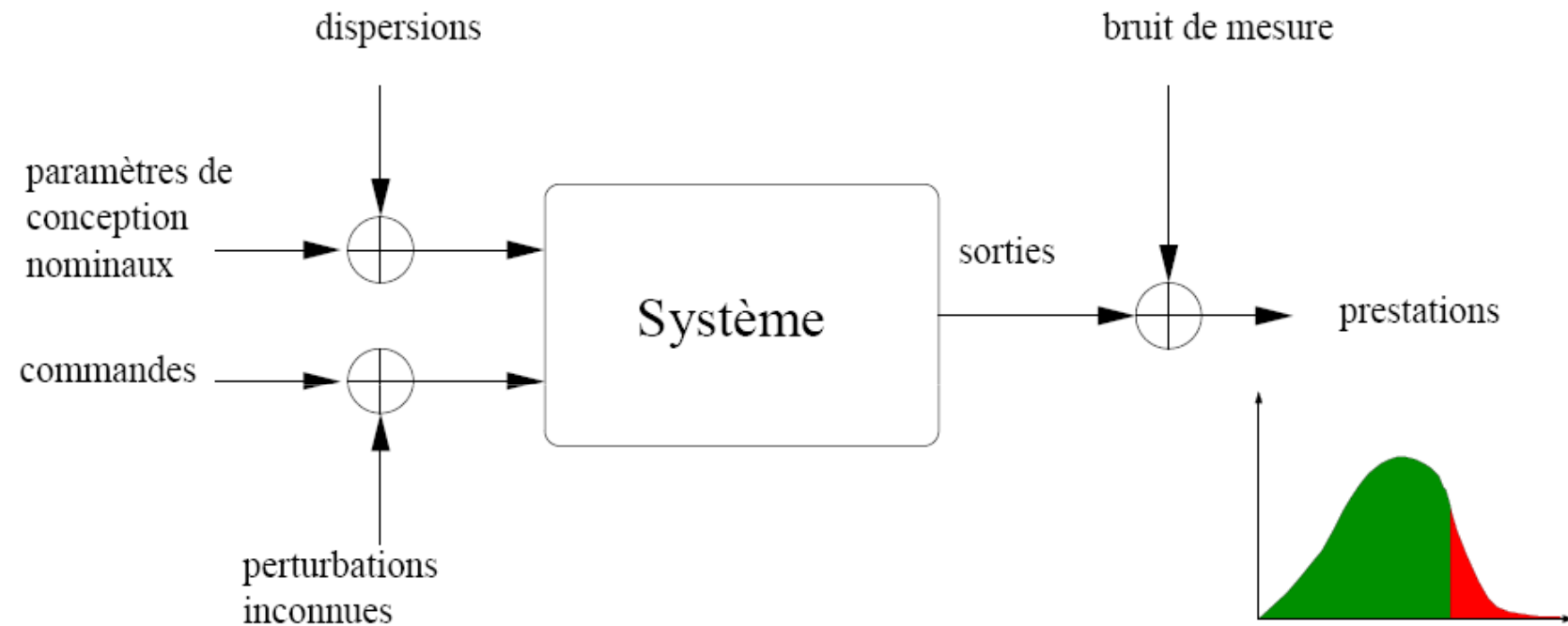
## modélisation optimale – choix de modèles –

Gilles Fleury

*Département SSE*

*EA2523 « Signaux et Systèmes Electroniques »*  
*SUPÉLEC*

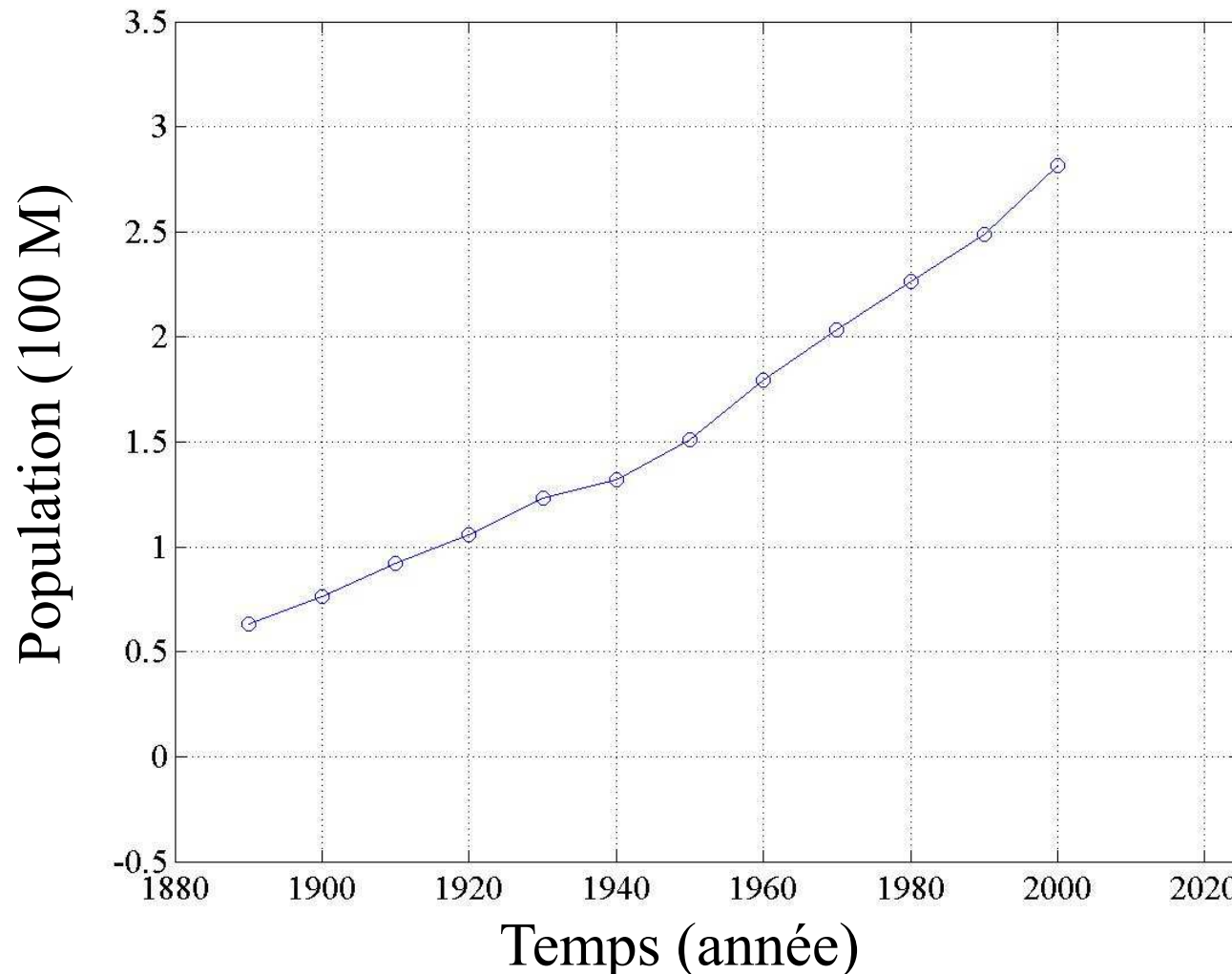
01.07.2009



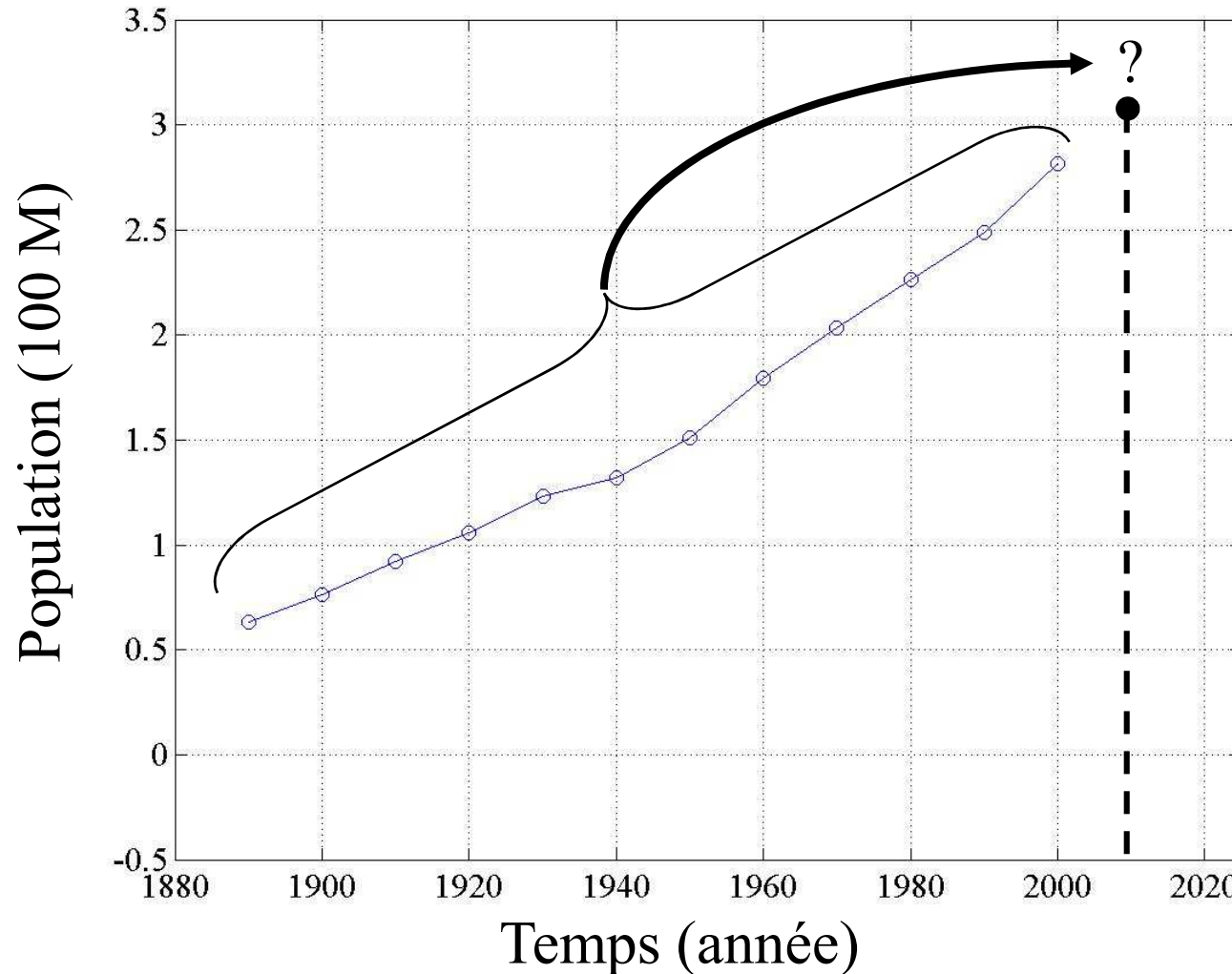
→ **MODÉLISATION DES SYSTÈMES**

→ **MODÉLISATION DES INCERTITUDES**

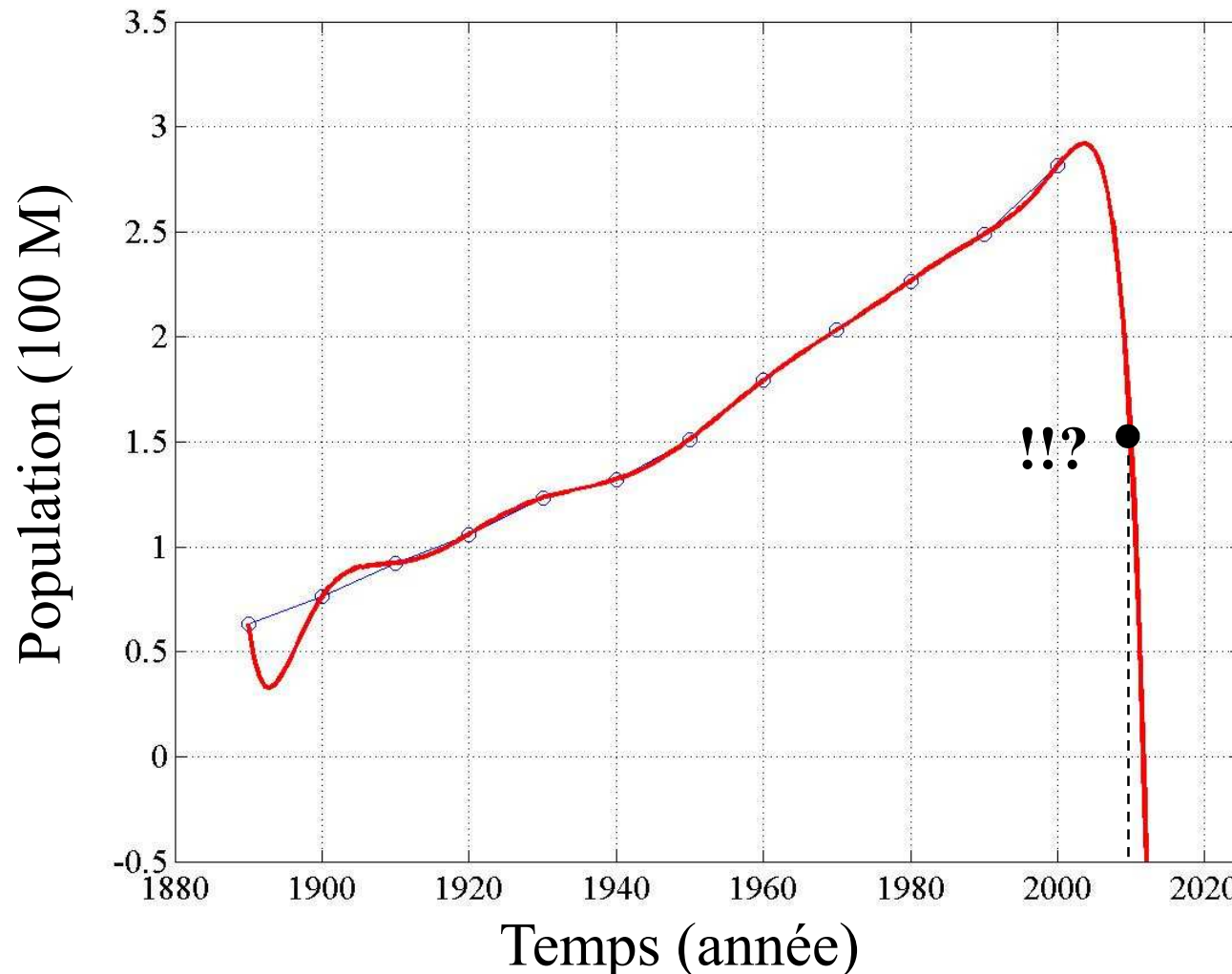
■ *Population des États-Unis*



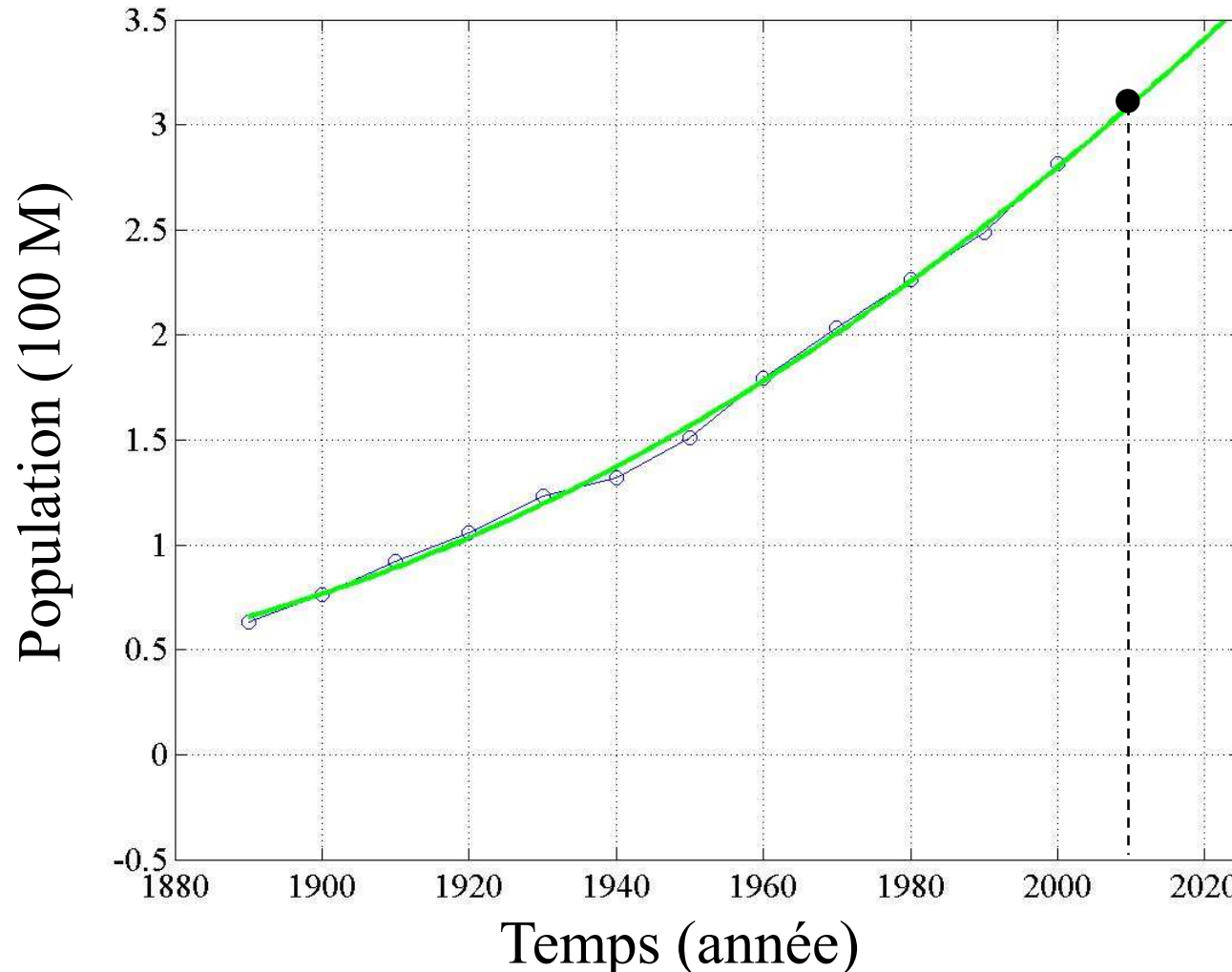
■ *Population des Etats-Unis (prédiction)*



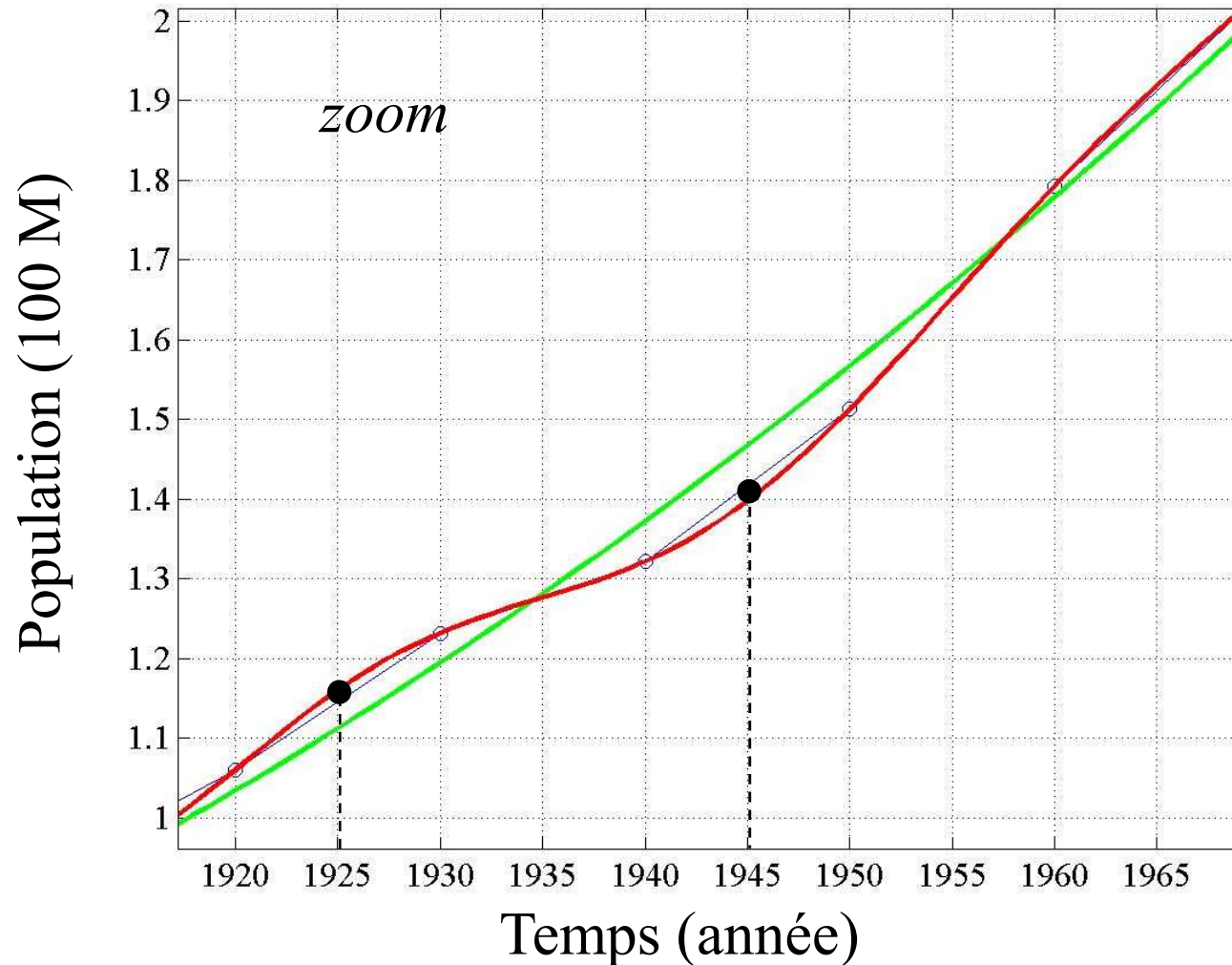
■ *Population des Etats-Unis (polynôme de Lagrange)*



- *Population des Etats-Unis (régression polynomiale, ordre 2)*



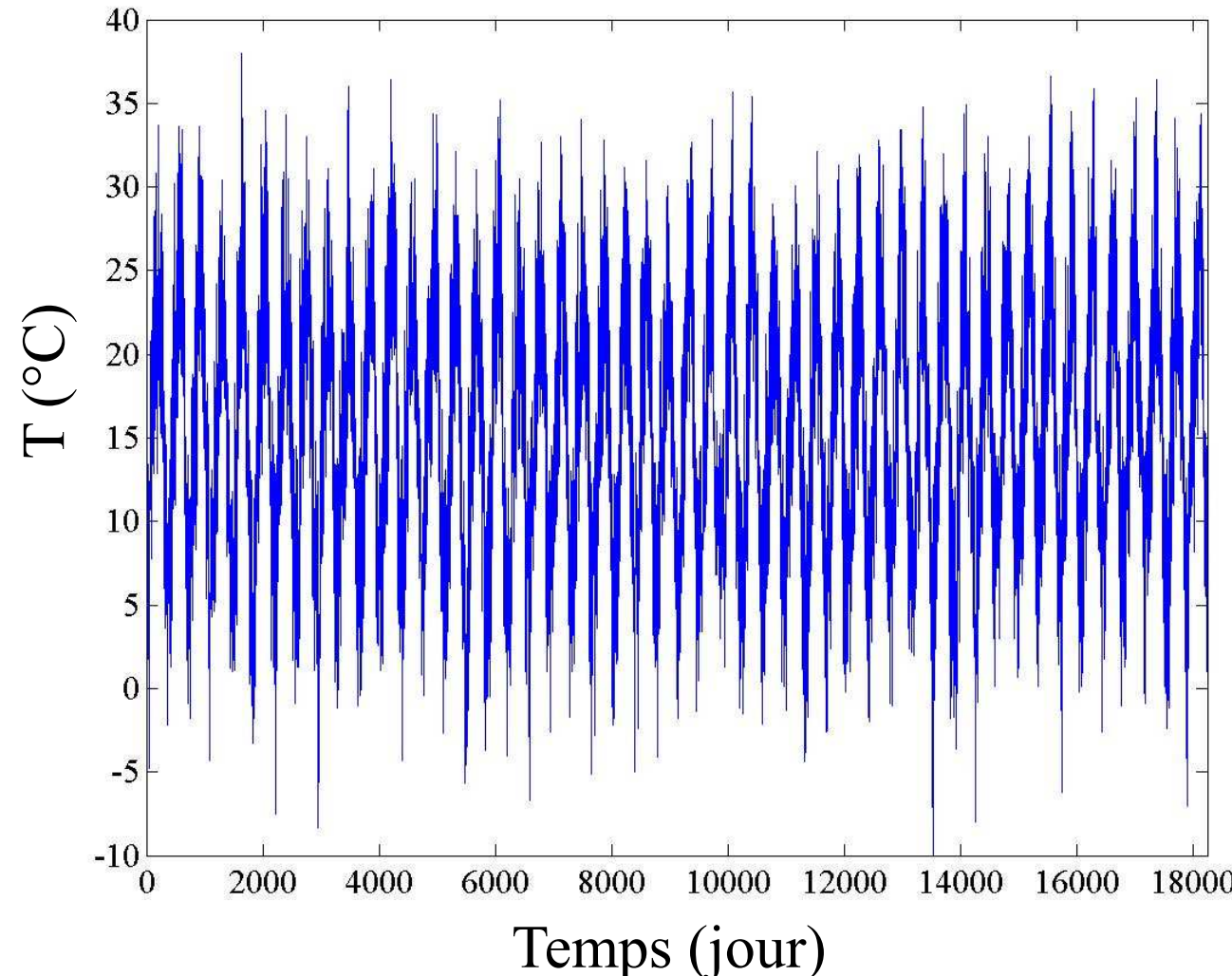
■ *Population des Etats-Unis (interpolation ?)*



- Modélisation des incertitudes
  - approches paramétriques
  - approches non paramétriques
- Choix d'un modèle de système
  - choix de la complexité d'un modèle
  - choix d'un modèle de comportement
  - choix de la paramétrisation d'un modèle
  - vers des méta-modèles
- Aides à la prise de décision
  - Estimation d'évènements rares
  - Optimisation d'un système complexe
- Exemples d'application

- Modélisation des incertitudes
  - approches paramétriques
  - approches non paramétriques
- Choix d'un modèle de système
  - choix de la complexité d'un modèle
  - choix d'un modèle de comportement
  - choix de la paramétrisation d'un modèle
  - vers des méta-modèles
- Aides à la prise de décision
  - Estimation d'évènements rares
  - Optimisation d'un système complexe
- Exemples d'application

■ *Température maximale au parc Montsouris (Paris)*



*signal  $y(t)$*

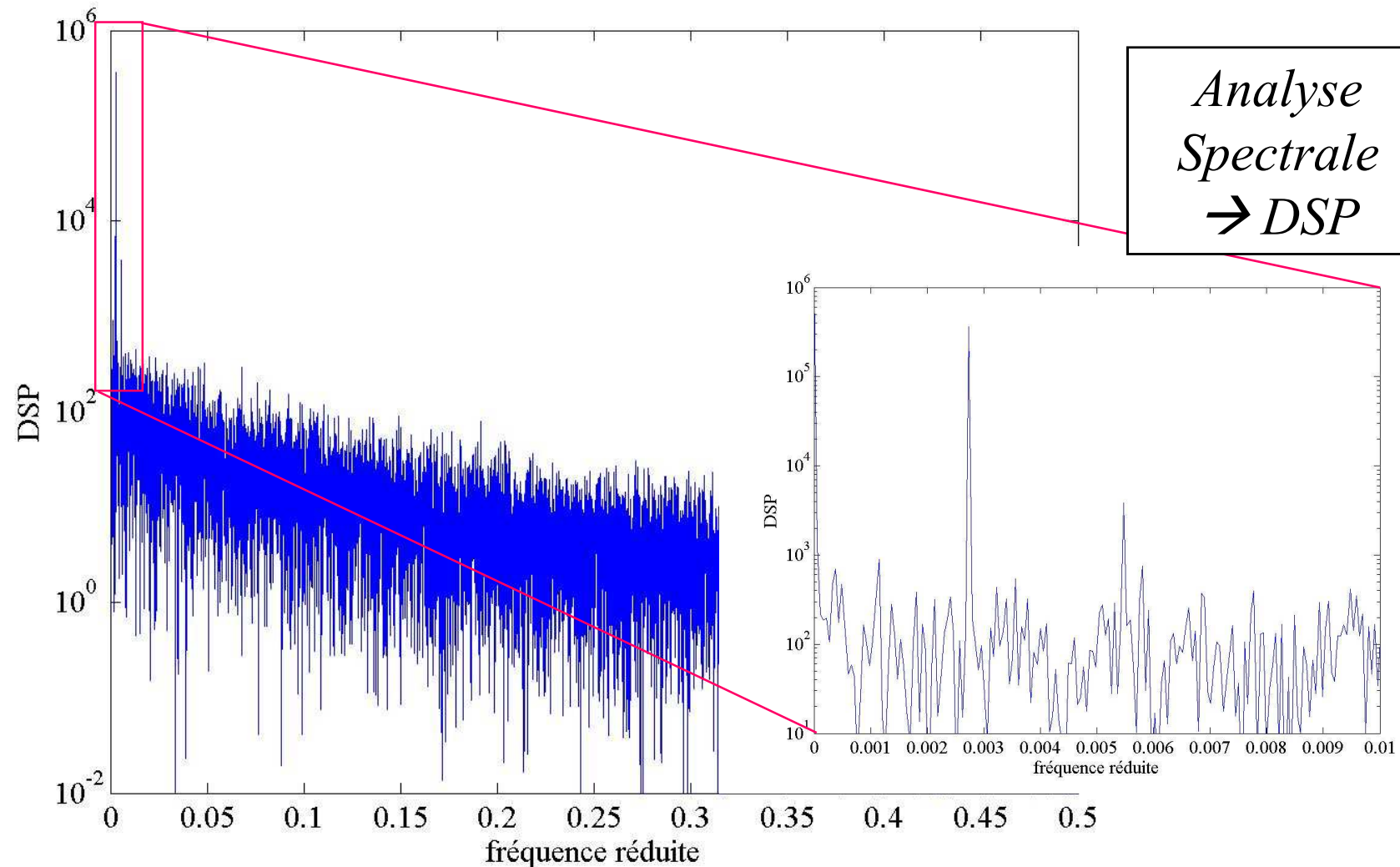
$T_e = 1$  jour

$T = 50$  ans

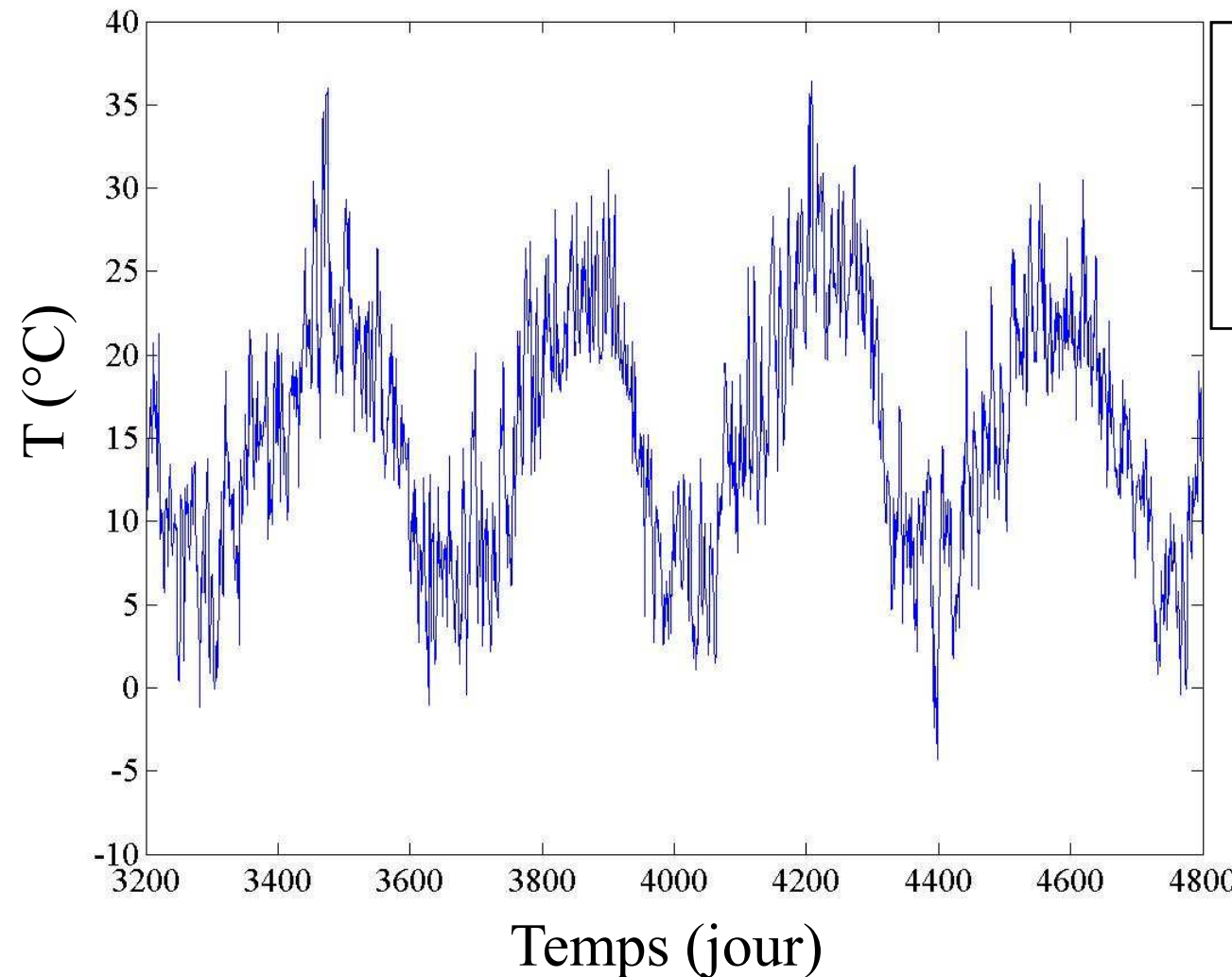


$N = 18263$

■ *Température maximale au parc Montsouris (Paris)*

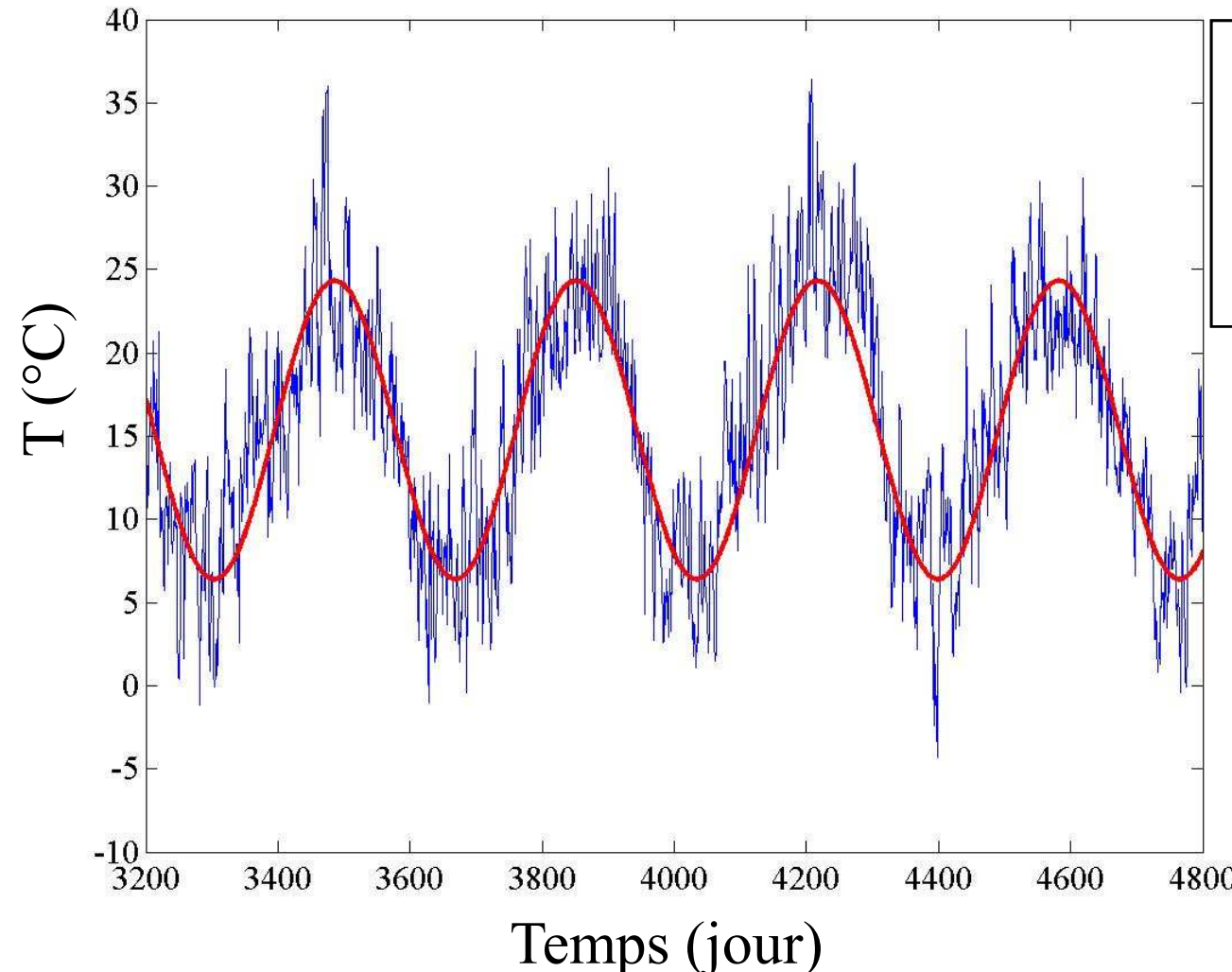


■ *Température maximale au parc Montsouris (Paris)*

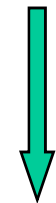


*Identification  
de  $s(t)$  :*  
 $a \cos(2\pi ft + \phi) + m$

■ *Température maximale au parc Montsouris (Paris)*

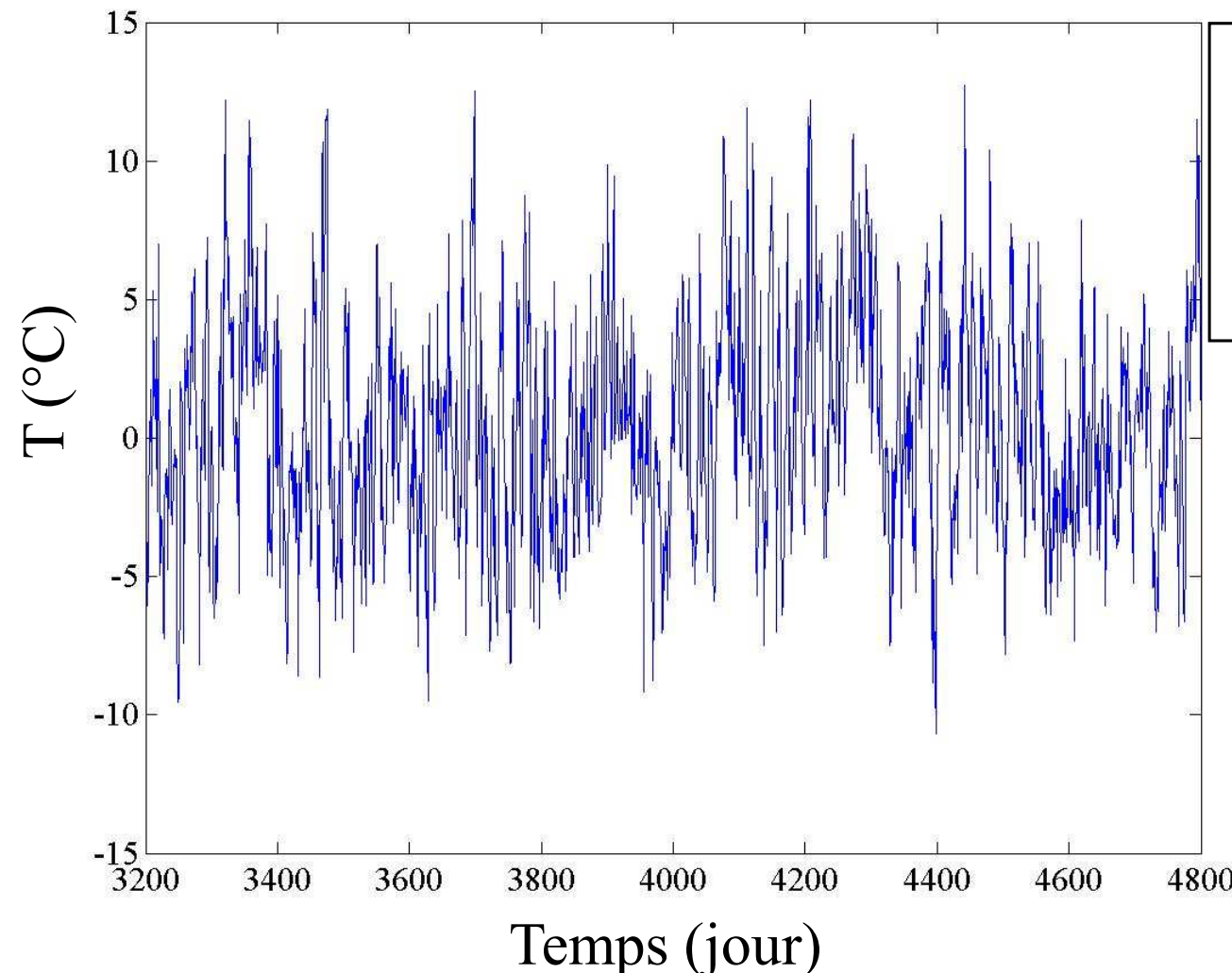


*Identification  
de  $s(t)$  :*  
$$a \cos(2\pi ft + \phi) + m$$

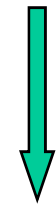


$$\begin{aligned}a &= 8.9593 \text{ (}{}^\circ\text{C)} \\f &= 1.0009 \text{ (}{}^\circ\text{C)} \\ \phi &= -1.8361 \text{ (rad)} \\m &= 15.3545 \text{ (}{}^\circ\text{C)}\end{aligned}$$

■ *Température maximale au parc Montsouris (Paris)*

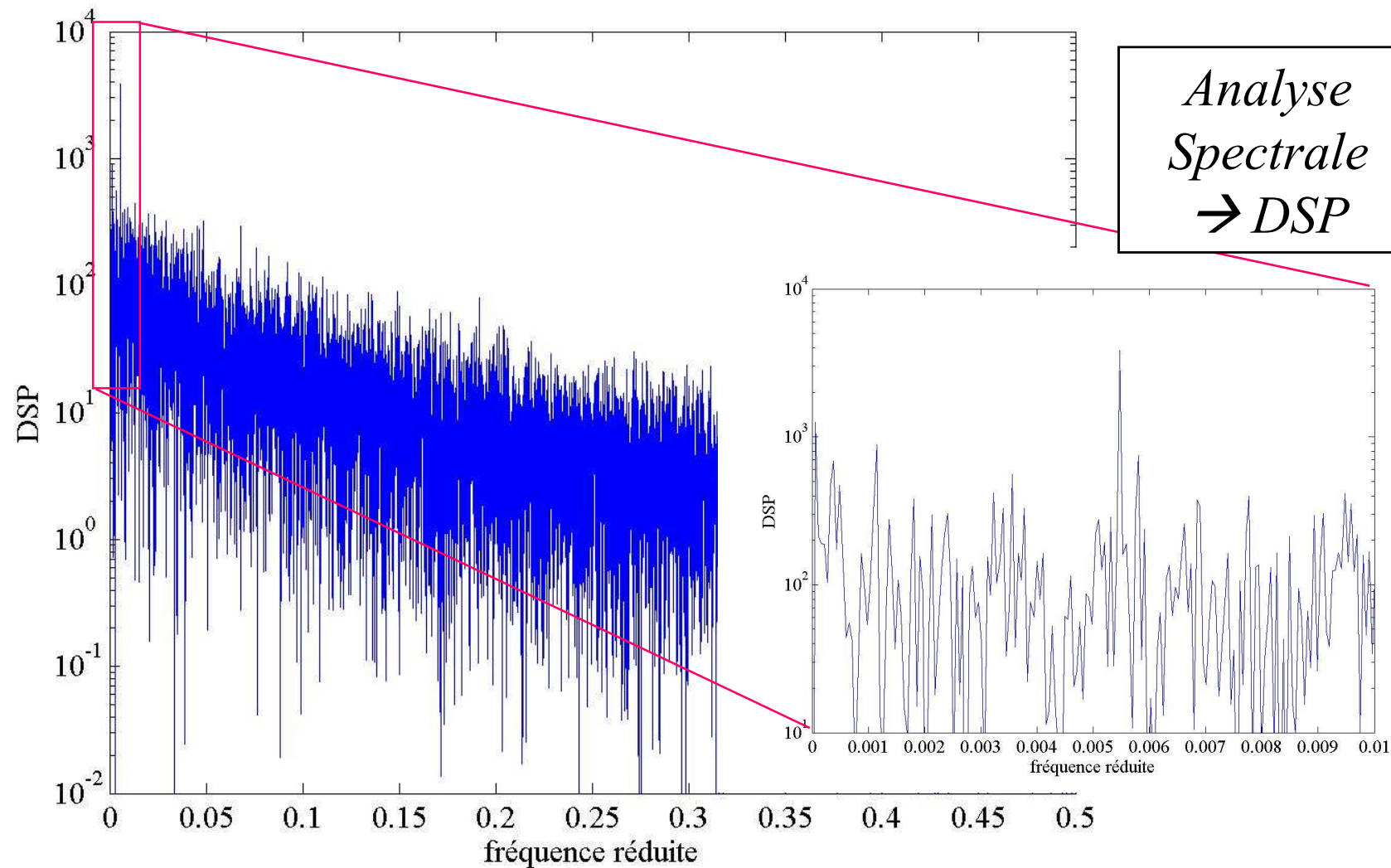


*Résidu  
d'identification*  
 $y(t) = s(t) + r(t)$

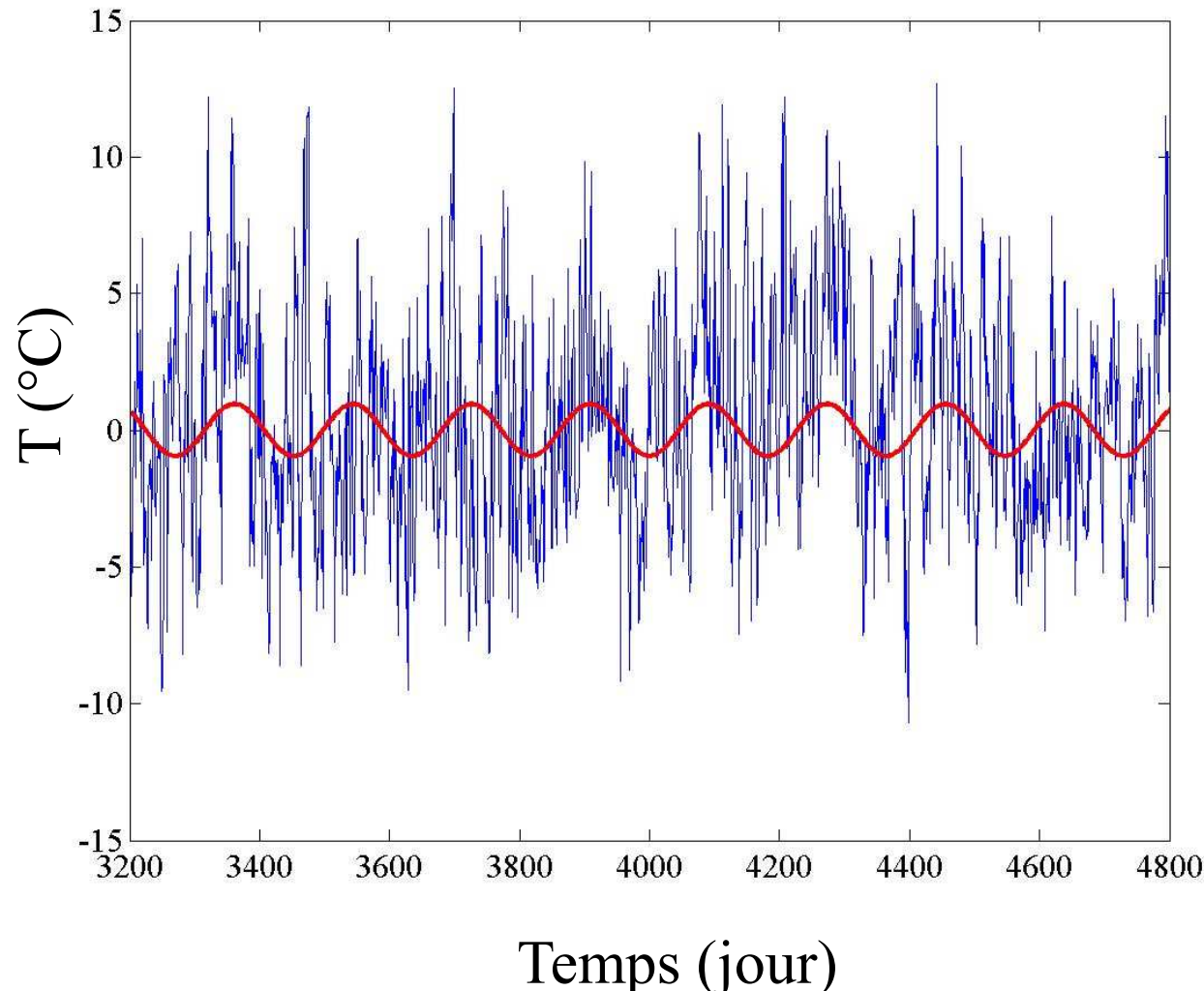


Caractérisation  
du résidu  $r(t)$

■ *Température maximale au parc Montsouris (Paris)*

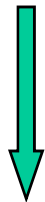


- *Température maximale au parc Montsouris (Paris)*



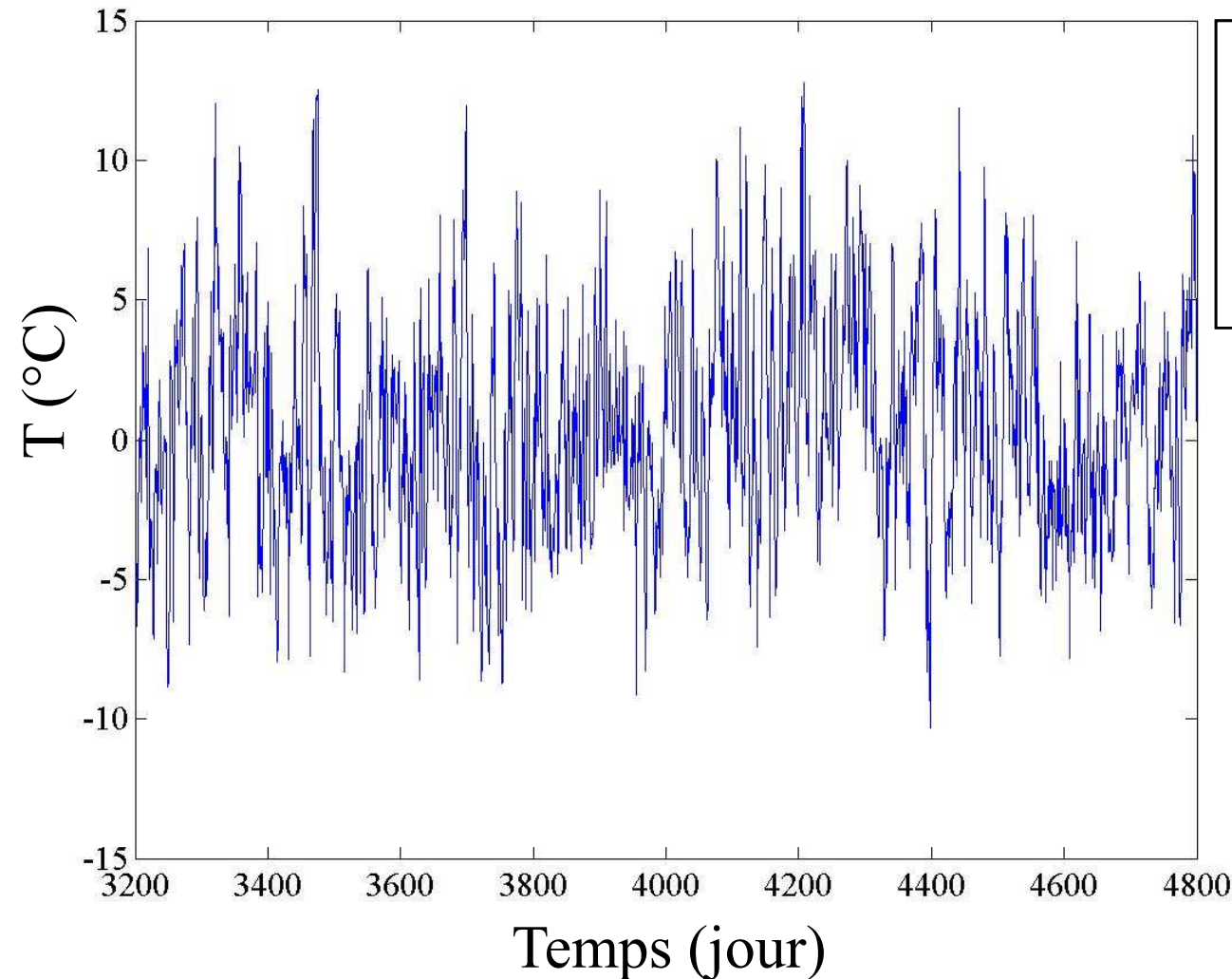
*Identification  
de  $s(t)$  :*  

$$a \cos(2\pi ft + \phi) + m$$

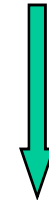


$a = 0.9514$  (°C)  
 $f = 0.4996$  (an<sup>-1</sup>)  
 $\phi = -1.1021$  (rad)  
 $m = -0.0002$  (°C)

■ *Température maximale au parc Montsouris (Paris)*



*Choix de l'ordre  
d'un modèle :  
compromis*

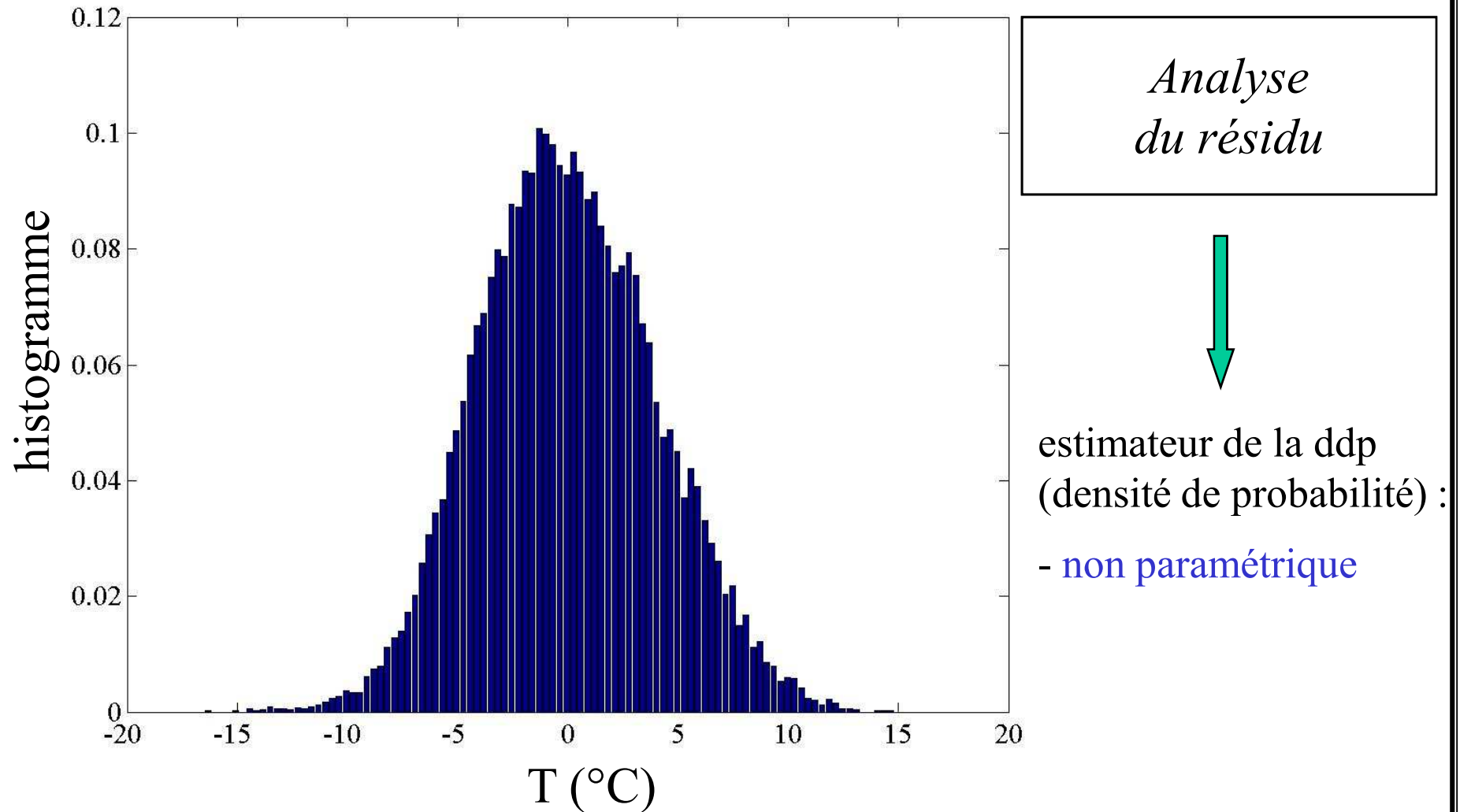


$$\sigma_1^2 = 2320$$

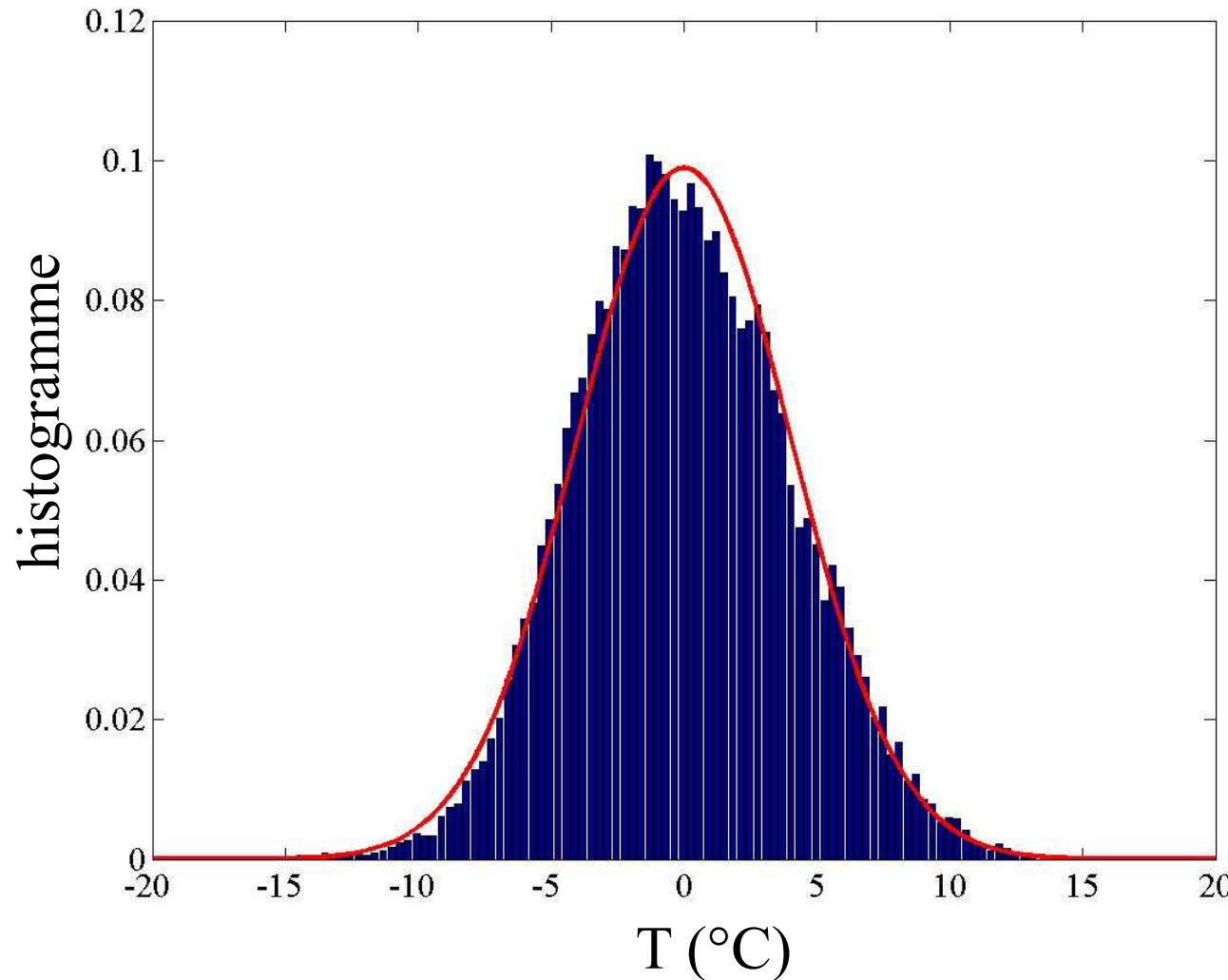
$$\sigma_2^2 = 552$$

$$\sigma_3^2 = 543$$

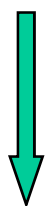
■ *Température maximale au parc Montsouris (Paris)*



■ *Température maximale au parc Montsouris (Paris)*



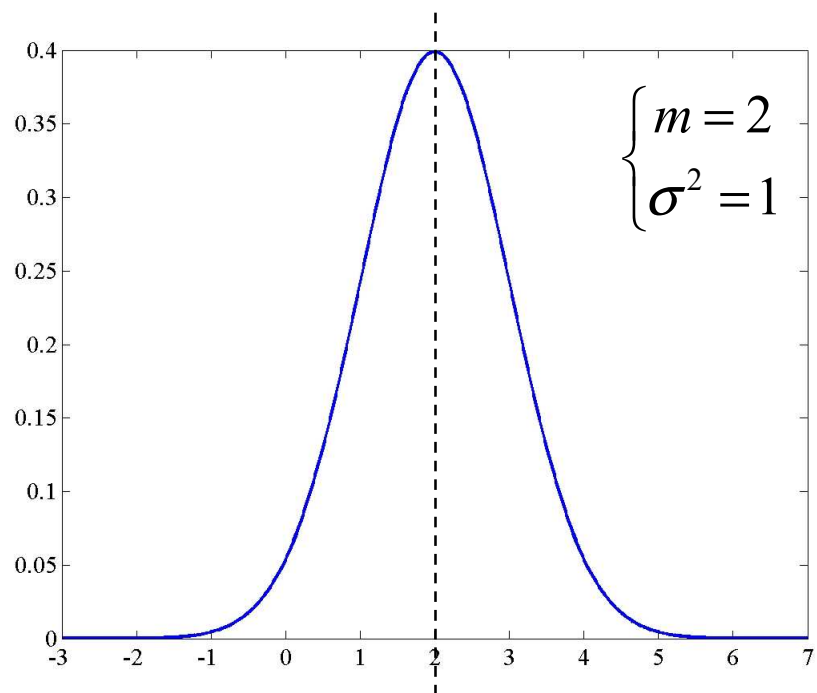
*Analyse  
du résidu*



estimateur de la ddp  
(densité de probabilité) :  
- non paramétrique  
- paramétrique

■ *Le modèle gaussien*

$$\wp(x) = \frac{1}{\sqrt{2\pi\sigma^2}} \exp\left(-\frac{(x-m)^2}{2\sigma^2}\right)$$



- calcul analytique possible
- théorème limite centrale

$$x = \frac{1}{N} \sum_{i=1}^N u_i \quad u_i \text{ IID}$$

$$x \xrightarrow{N \rightarrow \infty} \wp(x) \text{ gaussien}$$

- MAXENT ( $H = -I$ )

$$H = - \int \wp(x) \log \wp(x) dx$$

$$\begin{cases} \max H \\ E\{\phi_i(x)\} = \mu_i \quad i \in \{1, 2, \dots\} \end{cases}$$

■ *Autres modèles paramétriques*

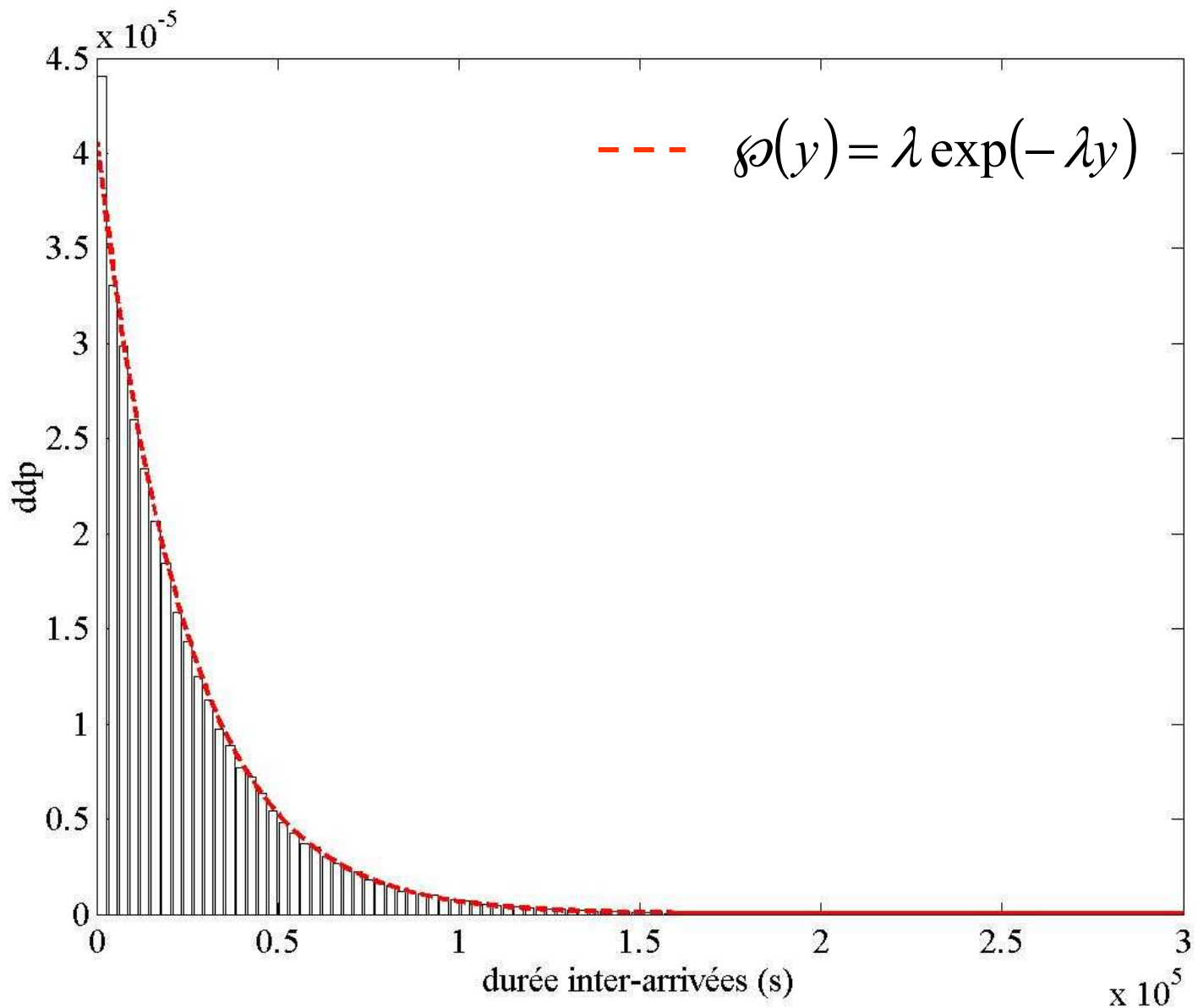
- lognormale, bêta (uniforme), gamma (exponentielle),...

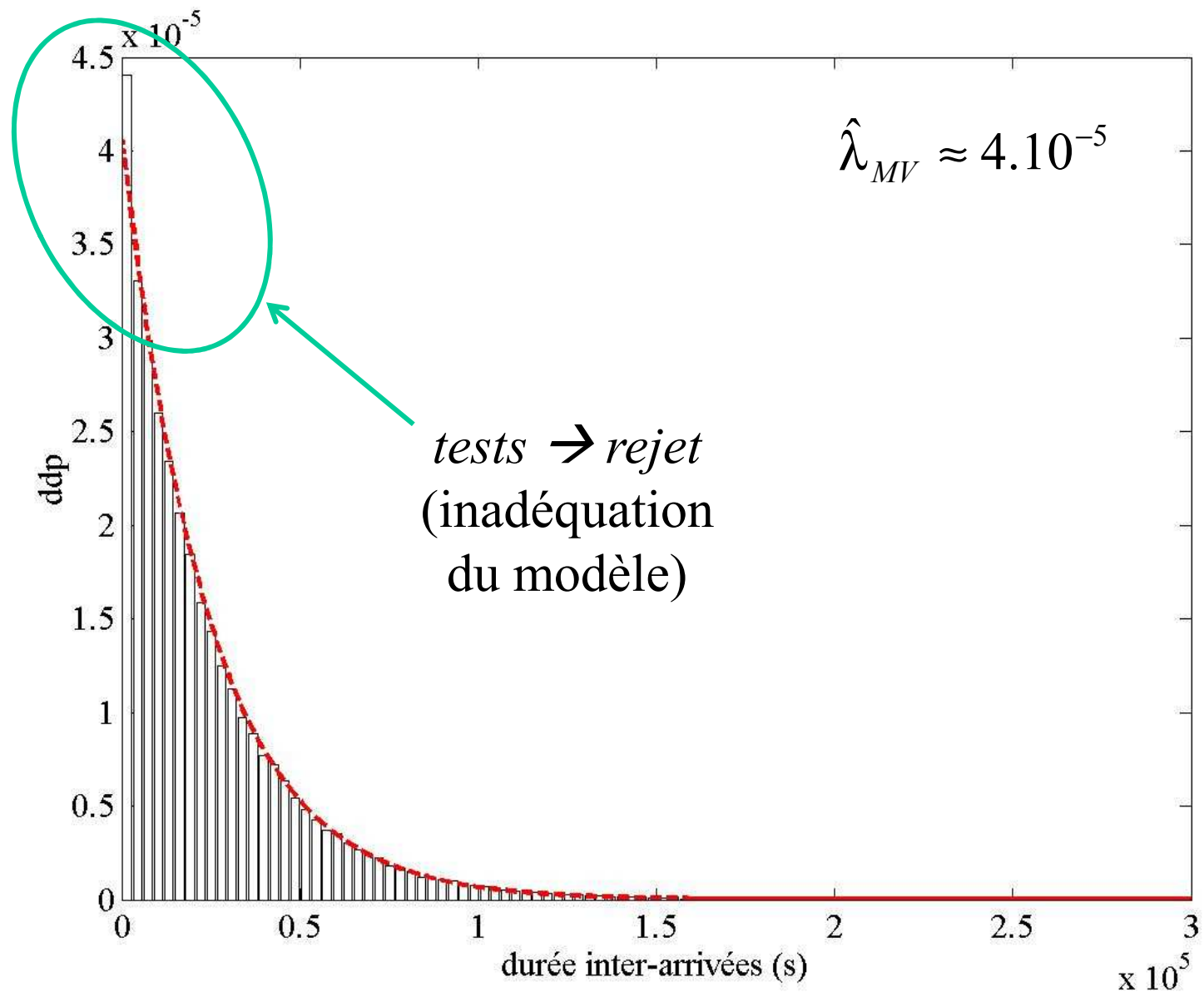
■ *Identification des paramètres de la loi*

- méthode des moments
- méthode du maximum de vraisemblance
- approche bayésienne (a priori)

■ *Tests d'ajustement*

- test du Chi2
- test de Kolmogorov-Smirnov
- test de Cramer-von Mises
- test de Wilcoxon-Mann-Whitney





- *Méthodes par noyaux* [Rosenblatt, Parzen, Masry]

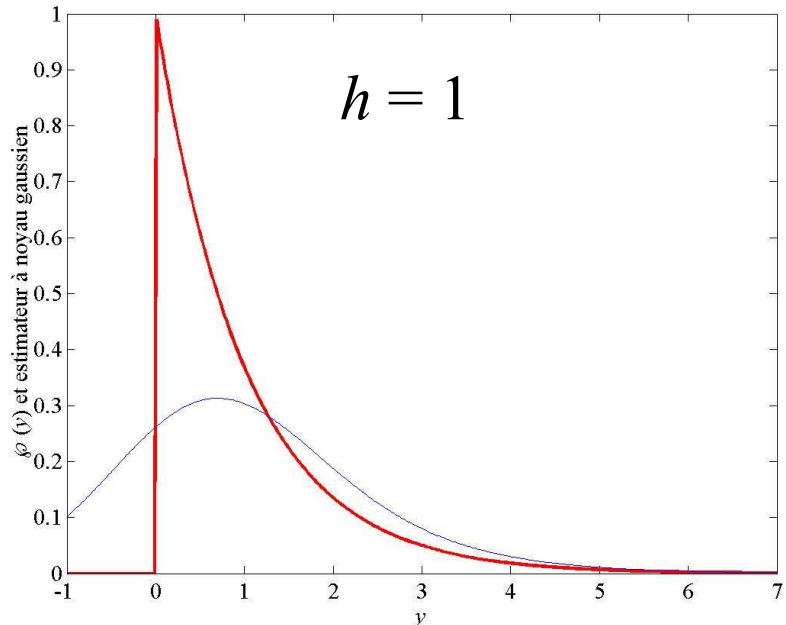
$$\hat{p}(y) = \frac{1}{N} \sum_{k=1}^N \frac{1}{h} K\left(\frac{y - y_k}{h}\right)$$

- *Choix du noyau* ?

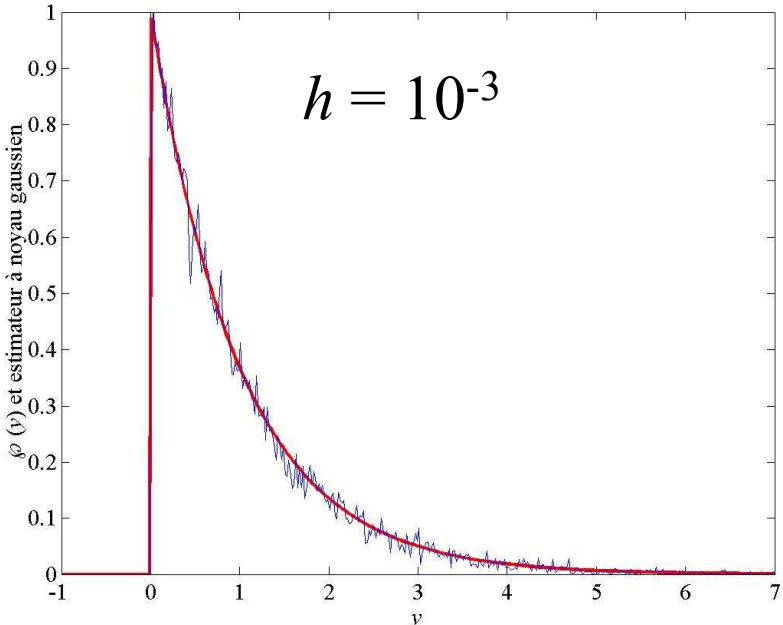
$$\left\{ \begin{array}{ll} \int_{-\infty}^{+\infty} |K(y)| dy < \infty & \sup_y |K(y)| < \infty \\ \int_{-\infty}^{+\infty} K(y) dy = 1 & \lim_{|y| \rightarrow \infty} K(y) = 0 \end{array} \right.$$

- *Choix de la largeur  $h$*  ?

$$\left\{ \begin{array}{l} \lim_N h = 0 \\ \lim_N N.h = \infty \end{array} \right.$$



biais important  
variance faible



Compromis  
biais-variance

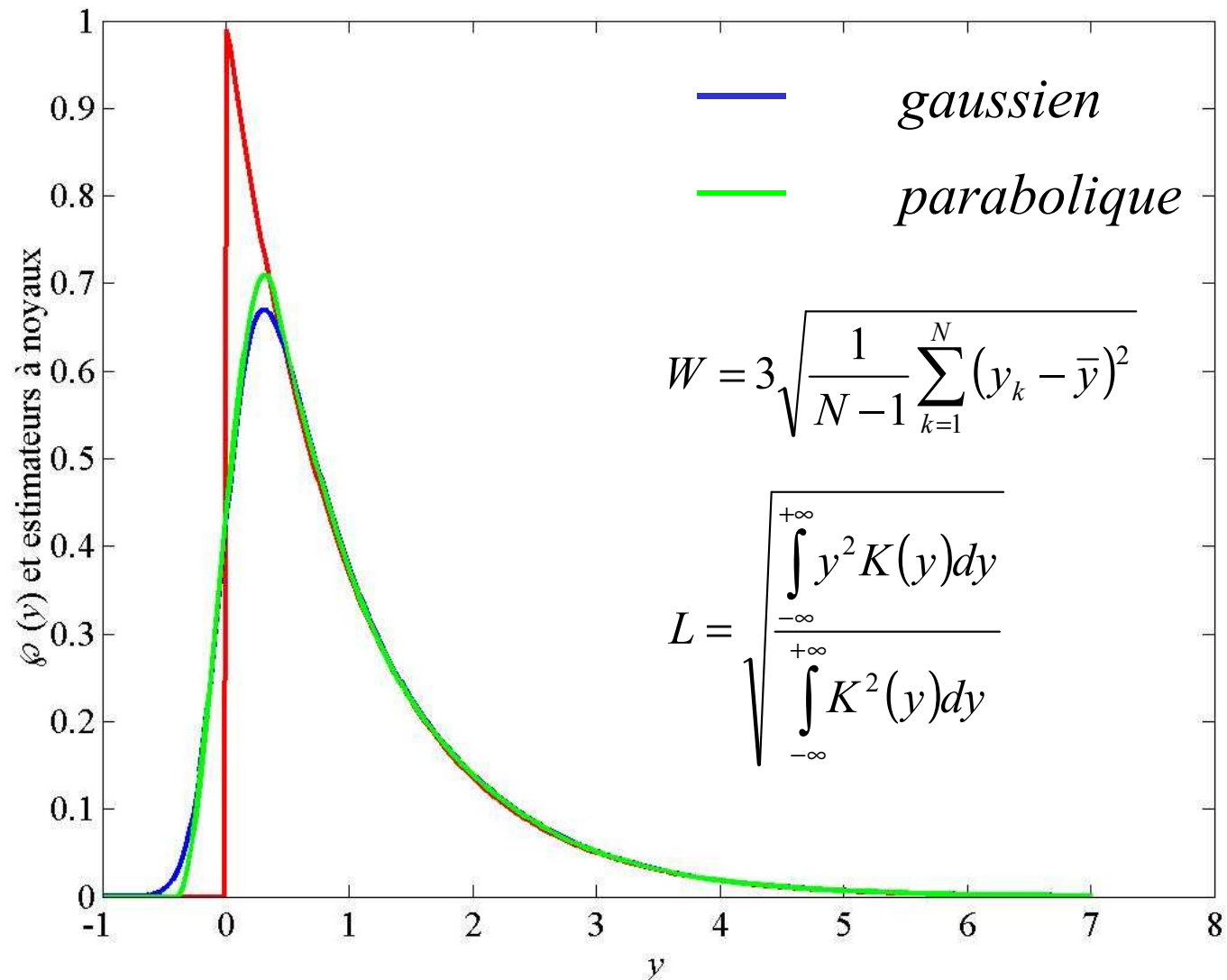
biais faible  
variance importante

[Jones]

$$MISE = E \left\{ \int_{-\infty}^{+\infty} (\phi(y) - \hat{\phi}(y))^2 dy \right\}$$



$$h^* = \left( \frac{\int_{-\infty}^{+\infty} K^2(y) dy}{N \left( \int_{-\infty}^{+\infty} (\phi^{(2)}(y))^2 dy \right) \left( \int_{-\infty}^{+\infty} y^2 K(y) dy \right)^2} \right)^{1/5}$$



$$\hat{h} = \frac{1}{2} \frac{W}{L} \frac{1}{N^{1/5}}$$

■ *Méthode par noyau optimisée (IRINCORREL) [Rivoira]*

1. Estimer la ddp par une première approche par noyau classique

$$\hat{\phi}(y) = \frac{1}{N} \sum_{k=1}^N \frac{1}{h_1} K_1 \left( \frac{y - y_k}{h_1} \right) \quad h_1 = \frac{1}{2} \frac{W}{L_1} \frac{1}{N^{1/5}}$$

2. Estimer la dérivée seconde de la ddp au point  $y$

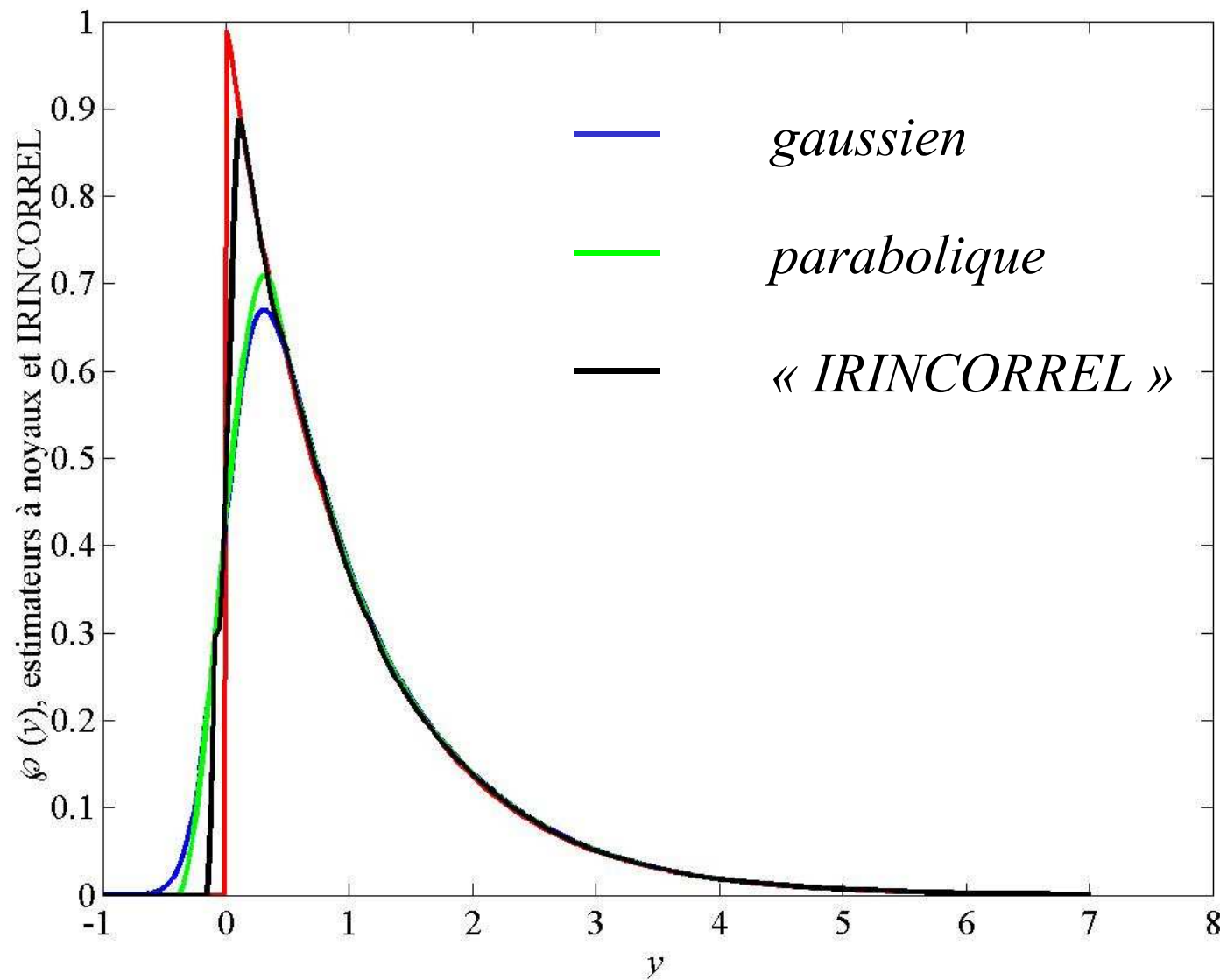
$$\hat{\phi}^{(2)}(y) = \frac{1}{N} \sum_{k=1}^N \frac{1}{h_2} K_2 \left( \frac{y - y_k}{h_2} \right) \quad h_2 = \frac{1}{2} \frac{W}{L_2} \frac{1}{N^{1/9}}$$

3. Estimer les largeurs optimales à partir de ces deux estimations

$$h_{opt}(y) = \left( L \frac{\hat{\phi}(y)}{\hat{\phi}^{(2)}(y)} \frac{1}{N} \right)^{1/5}$$

4. Estimer la ddp au point  $y$

$$\hat{\phi}_{opt}(y) = \frac{1}{N} \sum_{k=1}^N \frac{1}{h_{opt}(y)} K \left( \frac{y - y_k}{h_{opt}(y)} \right)$$

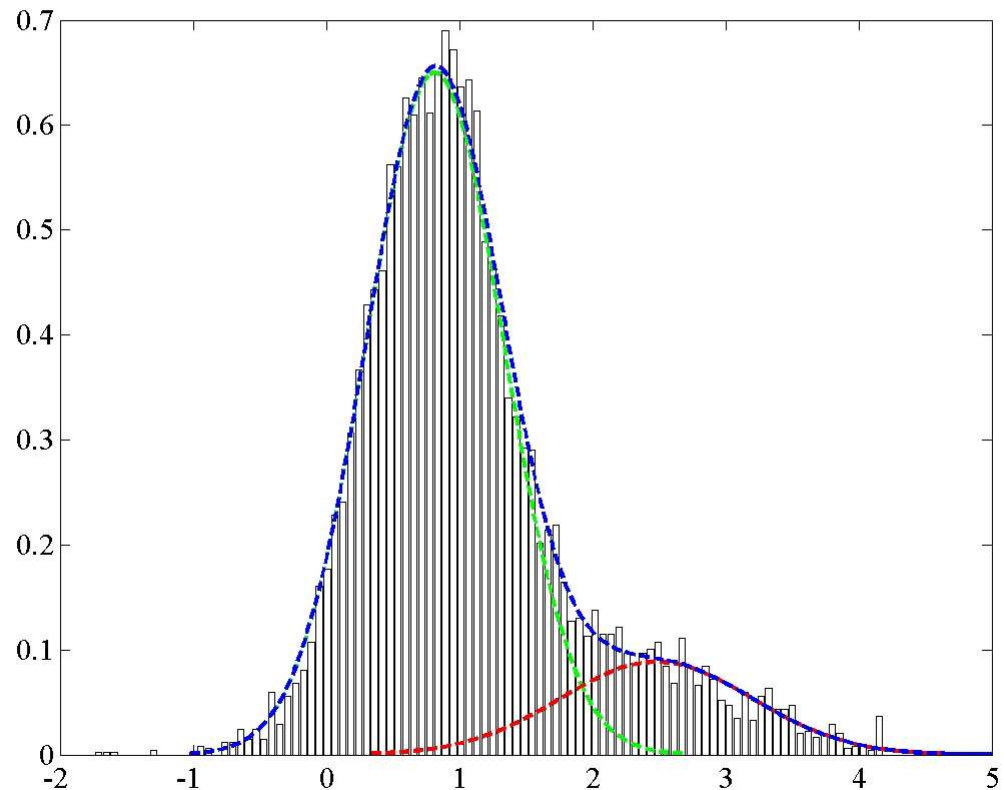


- *Entre deux : mélange de lois*

$$\wp(y) = \sum_{i=1}^P \pi_i K\left(\frac{y - m_i}{\sigma_i}\right)$$

$K$  noyau (gaussien)

$$\sum_{i=1}^P \pi_i = 1$$



Identification :  
algorithme EM  
(MV, itératif)

$$\pi = 0.8404$$

$$m_1 = 0.8150$$

$$\sigma_1^2 = 0.2660$$

$$m_2 = 2.4792$$

$$\sigma_2^2 = 0.5188$$

■ *Polynômes de chaos*

$$y = \sum_{i=1}^P a_i P_i(\xi)$$

 $P_i(\cdot)$  polynôme

 $\xi$  variable centrée réduite

- orthogonalité des polynômes

$$\langle P_i, P_j \rangle = \int_{-\infty}^{+\infty} P_i(\xi) P_j(\xi) \varphi(\xi) d\xi = \delta_{ij}$$

- dépend de la **mesure**  $\varphi(\xi)$  choisie  
typ.  $\xi$  gaussienne centrée réduite  
 $\rightarrow P$  polynôme de Hermite

$$P_0(\xi) = 1$$

$$P_1(\xi) = \xi$$

$$P_2(\xi) = (\xi^2 - 1) / \sqrt{2}$$

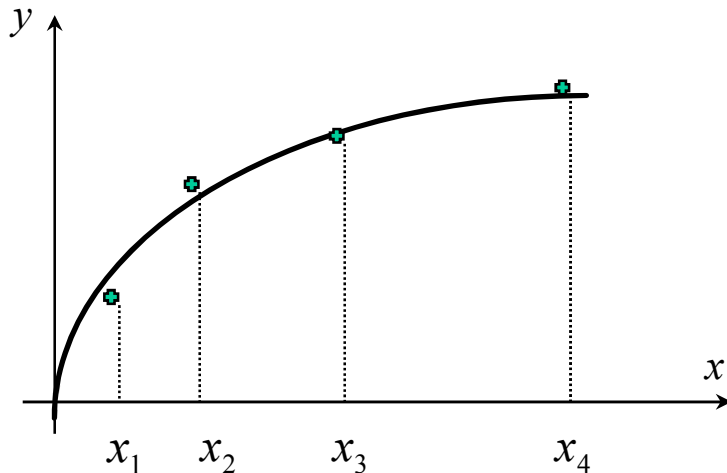
$$P_3(\xi) = (\xi^3 - 3\xi) / \sqrt{6}$$

...

1. *Équation d'observation*

$$y_i = f(x_i, \theta) + e_i$$

ex :  $f(x, \theta) = \frac{\theta_1 x}{\theta_2 x + 1}$

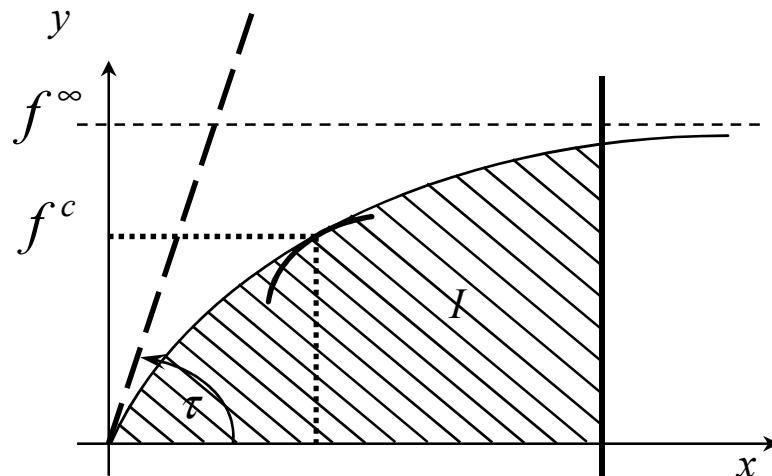

 2. *Équation de mesure*

$$m = \mathcal{G}(f)$$

dérivation, intégration  
extrapolation, interpolation ...

→  $m = g(\theta)$

ex :  $m = f(\infty) = \frac{\theta_1}{\theta_2}$



$$\wp(e) \xrightarrow{f, \xi} \wp(\theta) \xrightarrow{g} \wp(m)$$

■ *Differentes approches*

→ Expression littérale

rq :  $m = \theta_1 \theta_2$        $\wp(m) = \frac{e^{cm/(1-c^2)\sigma_1\sigma_2}}{\pi\sigma_1\sigma_2\sqrt{1-c^2}} \int_0^{+\infty} \exp\left[-\frac{1}{2(1-c^2)}\left(\frac{m^2}{\sigma_1^2}\frac{1}{\theta_2^2} + \frac{\theta_2^2}{\sigma_2^2}\right)\right] \frac{d\theta_2}{\theta_2}$

→ Estimation des deux premiers moments [G.P.Y. Clarke]  
 (biais, variance)  
 (développement en série de Taylor)

→ Estimation de la DDP  $\wp(\theta)$  [A. Pazman]  
 (géométrie différentielle)

→ Approche Monte-Carlo (PMC, LHS, ... )

## Approximation des deux premiers moments [Clarke]

*biais*

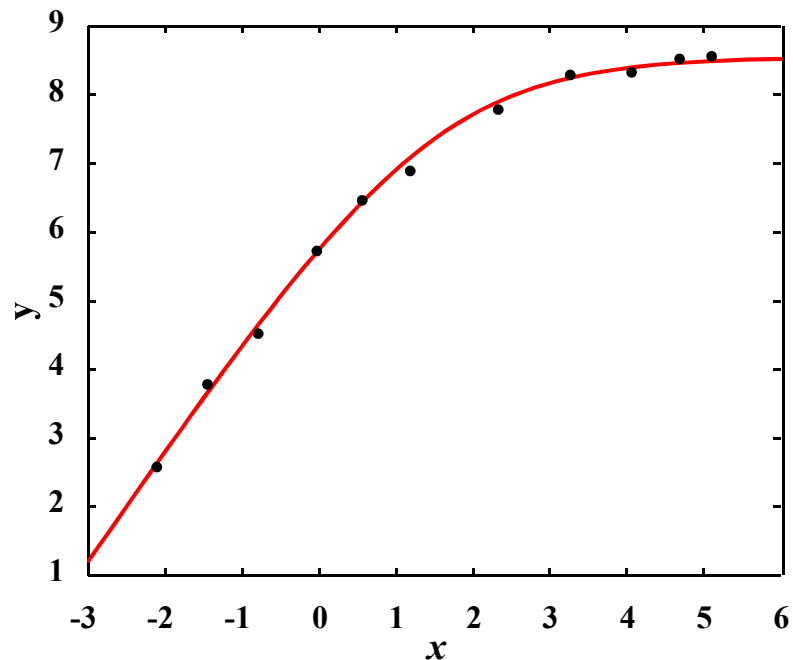
$$\mathbf{b} = -\frac{\sigma^2}{2} K \begin{bmatrix} \text{tr } B^1 & \dots & \text{tr } B^p \end{bmatrix}^\top \quad (DL3)$$

*matrice de covariance*

$$V = \sigma^2 K \left( Id + \sigma^2 (V_a + V_b + V_c) \right) K^\top \quad (DL5)$$

$$f(x, \boldsymbol{\theta}) = \theta_4 - \theta_3 \log \left( 1 + \exp \left( -\frac{\theta_1 x + \theta_2}{\theta_3} \right) \right)$$

*référence : Monte-Carlo*



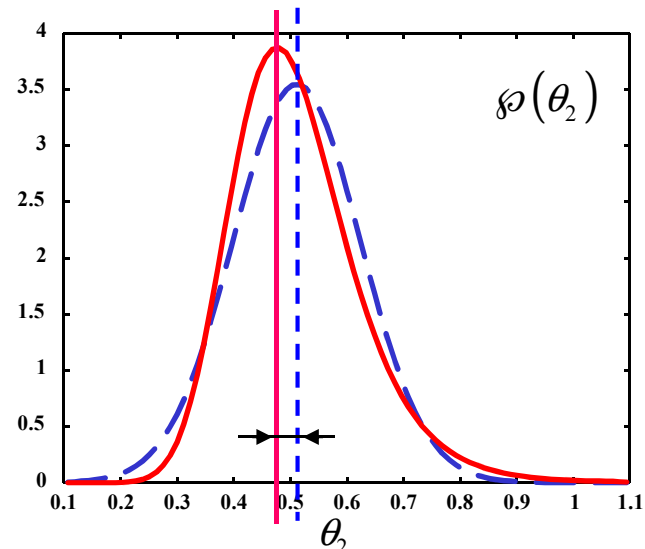
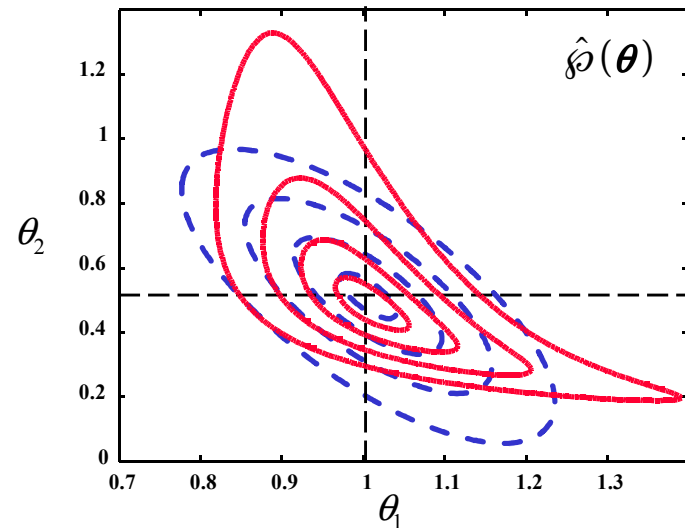
$$\underline{\underline{L}} \quad \frac{V_{MC} - V_{Lin}}{V_{Lin}} \% = \begin{bmatrix} 16.2 & 27.4 & 17.1 & 14.5 \\ & 39.2 & 28.5 & 30.8 \\ & & 16.4 & 12.1 \\ & & & 5.1 \end{bmatrix}$$

$$\underline{\underline{NL}} \quad \frac{V_{MC} - V_{NonLin4}}{V_{NonLin4}} \% = \begin{bmatrix} 3.6 & 5.5 & 3.8 & 4.9 \\ & 8.2 & 5.9 & 7.2 \\ & & 4.0 & 3.7 \\ & & & 2.1 \end{bmatrix}$$

**Géométrie différentielle [Pazman]**

$$\hat{\rho}(\boldsymbol{\theta}) = \frac{\det Q(\boldsymbol{\theta})}{(2\pi)^{N/2} \det^{1/2} M(\boldsymbol{\theta})} \exp\left(-\frac{1}{2\sigma^2} (f(\mathbf{x}, \boldsymbol{\theta}) - \mathbf{y})^T P(\boldsymbol{\theta})^T P(\boldsymbol{\theta}) (f(\mathbf{x}, \boldsymbol{\theta}) - \mathbf{y})\right)$$

$$f(\mathbf{x}, \boldsymbol{\theta}) = \theta_1 (1 - \exp(-\theta_2 x))$$

*Marginalisation*


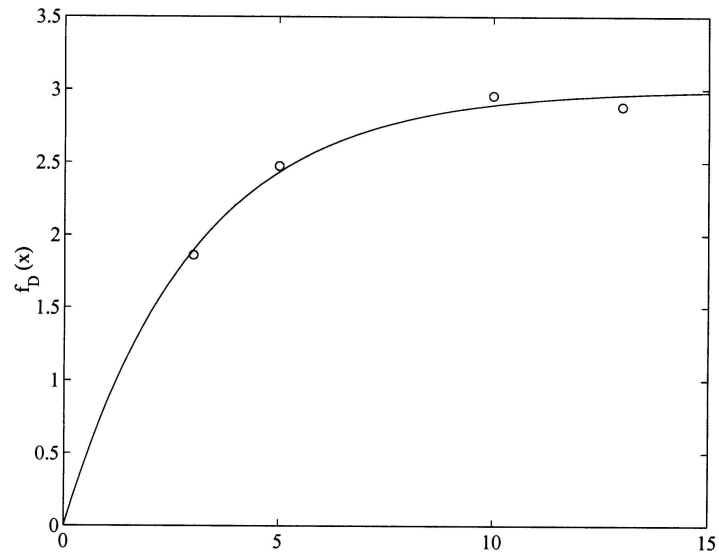
- Modélisation des incertitudes
  - approches paramétriques
  - approches non paramétriques
- Choix d'un modèle de système
  - choix de la complexité d'un modèle
  - choix d'un modèle de comportement
  - choix de la paramétrisation d'un modèle
  - vers des méta-modèles
- Aides à la prise de décision
  - Estimation d'évènements rares
  - Optimisation d'un système complexe
- Exemples d'application

■ *Choix de modèle emboîtés*

- Nombreux critères dans la littérature (*choix de l'ordre*)
  - . VC
  - . AIC, MDL
  - . BIC, MAP
  - . KICc (optimalité non asymptotique) [Bekara]

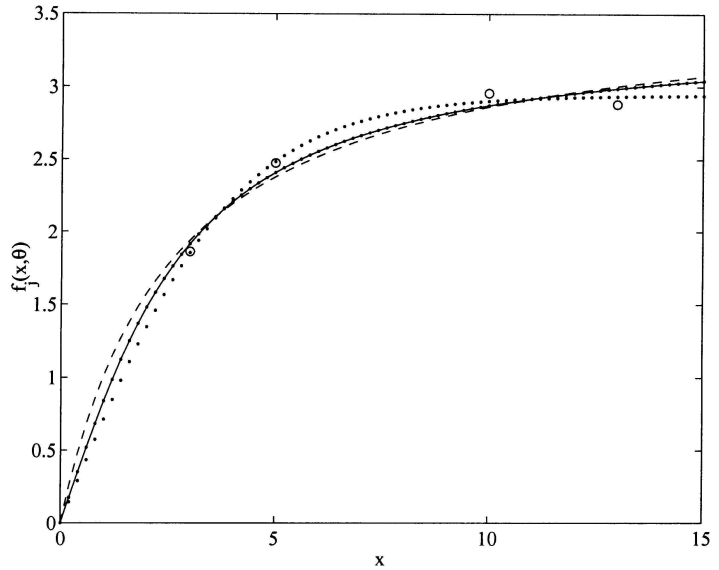
■ *Choix de modèles quelconques*

- Critère de choix lié à un objectif donné
  - . Critères de type moindres carrés
  - . Distance entre densités de probabilité

■ *Choix de structure de modèle*


- « vrai » modèle (*inconnu*)

$$f_D(x) = \theta_1 (1 - \exp(-\theta_2 x))$$



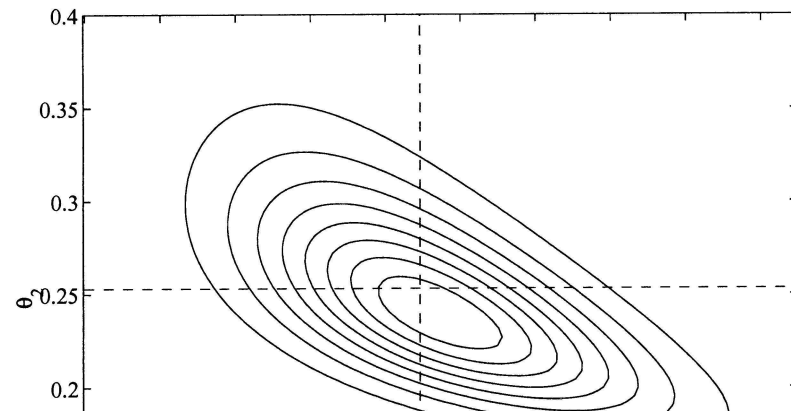
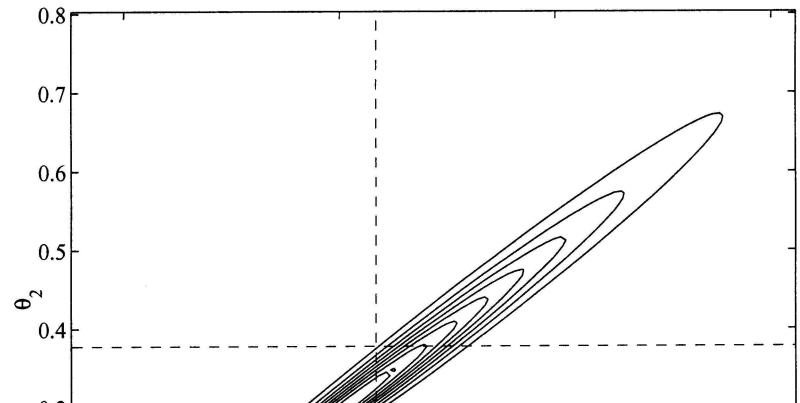
- modèles candidats

$$f_1(x) = \frac{\theta_1 x}{\theta_2 x + 1}$$

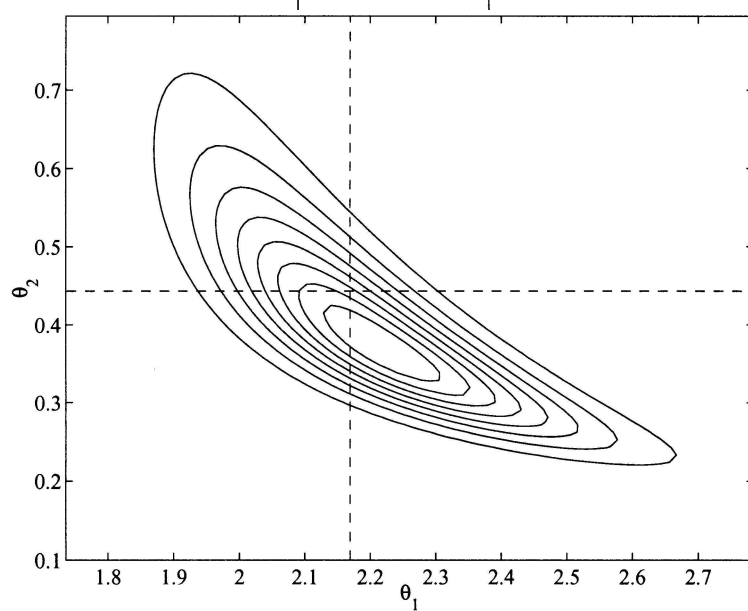
$$f_2(x) = \theta_1 \tanh(\theta_2 x)$$

$$f_3(x) = \theta_1 \arctan(\theta_2 x)$$

	$f_1$	$f_2$	$f_3$
<i>MSE</i>	1.60	3.60	0.68

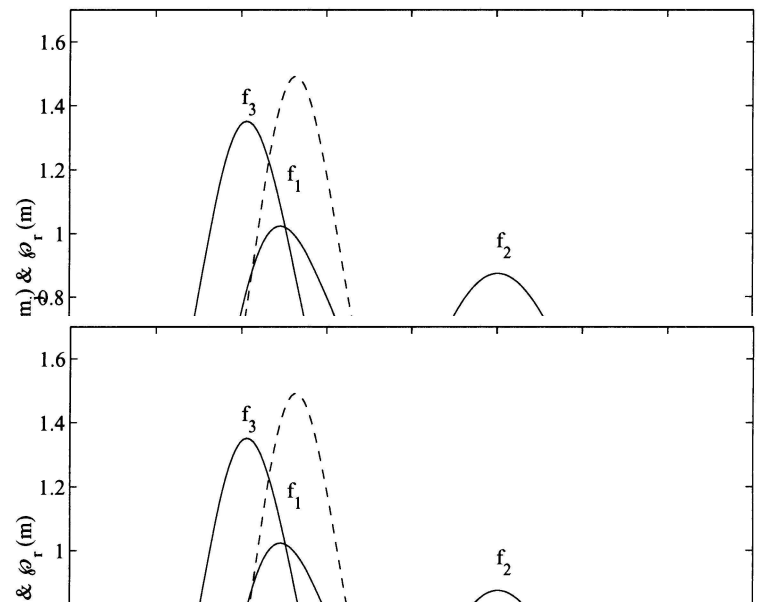
■ *Choix de structure de modèle*


*ddp des paramètres  
(Pazman) :  $\hat{\varphi}_j(\hat{\theta})$*



→ HPC

■ *Choix de structure de modèle*

 1) ddp de l'objectif  $\hat{\phi}_j(m)$ 

 2) distance entre ddps  $\Delta_k$ 

	$f_1$	$f_2$	$f_3$
$\Delta_1$	0.317	1.233	0.688
$\Delta_2$	0.514	1.473	0.888
$\Delta_3$	0.095	1.377	0.258

	$m_S$	$m_A$	$m_I$
$f_1$	$\theta_1$	$\theta_1/\theta_2$	$\theta_1/\theta_2^2 (\theta_2 x_I - \log (1 + \theta_2 x_I))$
$f_2$	$\theta_1 \theta_2$	$\theta_1$	$\theta_1/\theta_2 \log (\cosh (\theta_2 x_I))$
$f_3$	$\theta_1 \theta_2$	$\theta_1 \pi/2$	$\theta_1 x_I \arctan (\theta_2 x_I) - \theta_1/2 \theta_2 \log (1 + \theta_2^2 x_I^2)$

- *Choix de la paramétrisation d'une structure*

	<div style="border-left: 1px solid black; padding-left: 10px; margin-left: 10px;"> <table style="width: 100%; border-collapse: collapse;"> <tr> <td style="text-align: right; padding-right: 20px;">structure</td><td style="text-align: center; padding: 10px;"><math>\frac{\bullet \ x}{\bullet \ x + \bullet}</math></td><td style="text-align: left; padding-left: 20px;"><i>Code de génération formelle de modèles</i></td></tr> <tr> <td style="text-align: right; padding-right: 20px;">structure paramétrée</td><td style="text-align: center; padding: 10px;"><math>\frac{\theta_1 x}{\theta_2 x + 1}</math></td><td style="text-align: left; padding-left: 20px;"><i>Choix de la paramétrisation</i></td></tr> <tr> <td style="text-align: right; padding-right: 20px;">fonction</td><td style="text-align: center; padding: 10px;"><math>\frac{3x}{4x + 1}</math></td><td style="text-align: left; padding-left: 20px;"><i>Procédure d'estimation / d'identification</i></td></tr> </table> </div>	structure	$\frac{\bullet \ x}{\bullet \ x + \bullet}$	<i>Code de génération formelle de modèles</i>	structure paramétrée	$\frac{\theta_1 x}{\theta_2 x + 1}$	<i>Choix de la paramétrisation</i>	fonction	$\frac{3x}{4x + 1}$	<i>Procédure d'estimation / d'identification</i>
structure	$\frac{\bullet \ x}{\bullet \ x + \bullet}$	<i>Code de génération formelle de modèles</i>								
structure paramétrée	$\frac{\theta_1 x}{\theta_2 x + 1}$	<i>Choix de la paramétrisation</i>								
fonction	$\frac{3x}{4x + 1}$	<i>Procédure d'estimation / d'identification</i>								

Pourquoi choisir  $f_\theta(x) = \frac{\theta_1 x}{\theta_2 x + 1}$  plutôt que  $f_\varphi(x) = \frac{x}{\varphi_1 x + \varphi_2}$  ?

→ Pour optimiser la phase d'identification des paramètres !

$$\text{reparamétrisation : } \theta = t(\varphi)$$

- *Influence sur la mesure*

- $t$  homéomorphisme
- $m$  dépend d'un  $\theta_i$



$$\wp(m_\theta) = \wp(m_\varphi)$$

“Optimal Nonlinear Modeling and Reparameterization”, *IEEE WISP*, 1999.

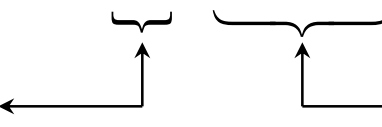
- *Comment optimiser la reparamétrisation*

- critère d'optimalité ?
- $\theta \xleftarrow{?} \varphi$

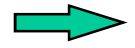
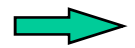
**Critère**
**critère de non-linéarité  $N_\theta$** 

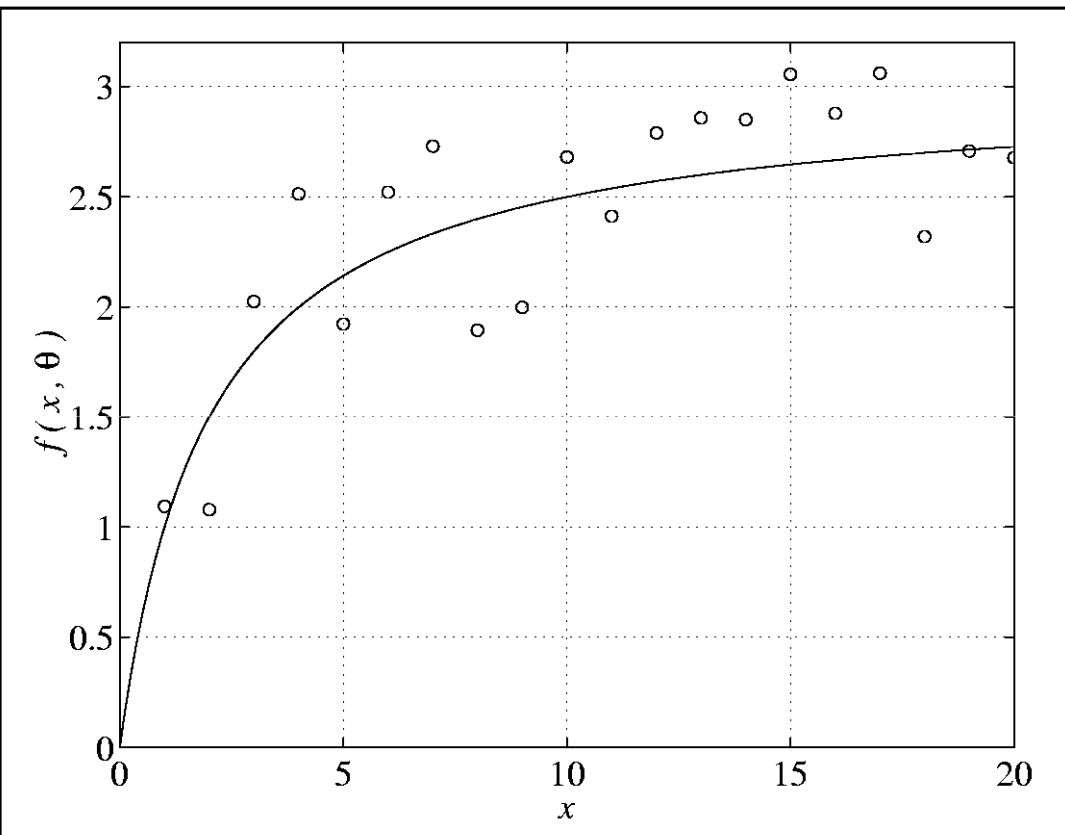
- sources de non-linéarités :
- le lieu des solutions
  - le maillage de ce lieu

$$\text{var}(\hat{\theta}) = \sigma^2 K \left( Id + \sigma^2 (V_a + V_b + V_c) \right) K^T$$

*non-linéarité intrinsèque*  *paramétrisation*

$$\theta \quad \xleftrightarrow{?} \quad \varphi$$

- |               |                                                   |                                                                                       |           |
|---------------|---------------------------------------------------|---------------------------------------------------------------------------------------|-----------|
| • linéaire    | $\varphi = T\theta$                               |  | inutile   |
| • optimale    | $\{\varphi_i = f(\pi_i, \theta)\}_{i \in [1, p]}$ |  | complexe  |
| • quadratique | $\theta = AS \text{ diag}[\Phi^2]$                |  | compromis |

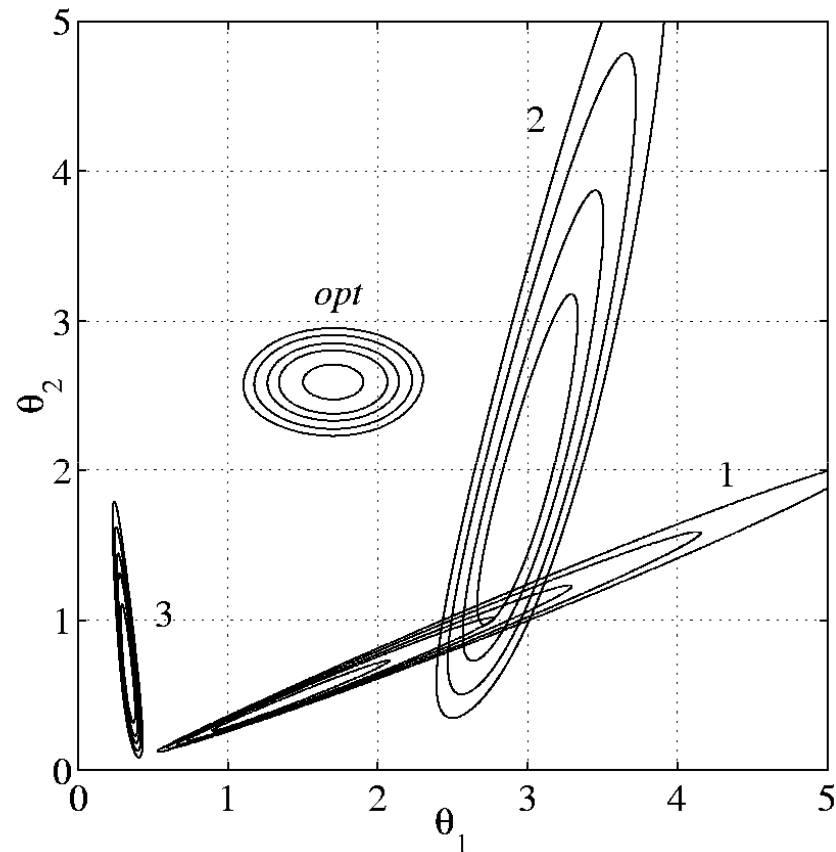
■ *Exemple*


$$f(x, \theta) = \frac{\theta_1 x}{\theta_2 x + 1}$$

$$\left\{ \begin{array}{l} \theta_0 = \begin{bmatrix} 3/2 & 1/2 \end{bmatrix}^\top \\ x = \begin{bmatrix} 1 & \dots & 20 \end{bmatrix}^\top \\ \sigma^2 = 0.1 \end{array} \right.$$



$$f_\phi(x) = \frac{(\pi_1 - \pi_2) \phi_1 \phi_2 \cdot x}{(\pi_1 \phi_2 - \pi_2 \phi_1) \cdot x + \pi_1 \pi_2 (\phi_1 - \phi_2)}$$


densités de probabilité

structures	$N_\theta$	$ \rho $	$\bar{n}_{it}$	$\sigma_{\max}$
$\theta_1 x / (\theta_2 x + 1)$	4.304	0.997	16.2	X
$\theta_1 x / (x + \theta_2)$	1.408	0.969	13.9	6.426
$x / (\theta_1 x + \theta_2)$	0.797	0.808	12.0	0.634
quadratique	0.263	0.203	11.6	0.512
optimale	0.201	0.078	10.6	0.415

optimisation :

- *décorrélation*
- *temps de calcul*
- *robustesse numérique*

## ■ *Littérature*

- ⇒ Méthodes paramétriques ou non-paramétriques
- ⇒ Deux points de vue équivalents :
  - **Régression à noyau reproduisant**
    - 1960 : splines, (**Schoenberg 1964, Duchon 1976–1979**)
    - 1980 : RBF, (**Micchelli 1986, Powel 1987**)
    - 1995 : SVM, (**Vapnik 1995**)
    - 1997 : SVR, (**Smola 1997**)
    - 1999 : SVR semi-paramétrique (**Smola 1999**)
  - **prédiction linéaire – Krigeage**
    - 1950 : prédiction pour la recherche minière (**Krige 1951**)
    - 1960 : krigeage, géostatistique (**Matheron 1963**) – École des Mines
    - 1970 : krigeage intrinsèque (**Matheron 1971**)
    - 1997 : prédiction par « processus gaussiens », (**Williams 1997, Neal 1997**)

■ *Krigage [Vazquez]*

$$y_i = f(x_i, \theta) + e_i$$

$$y_i = f(x_i, \theta) + e_i + \omega(x_i)$$

erreur de modélisation

→ processus gaussien

- moyenne nulle

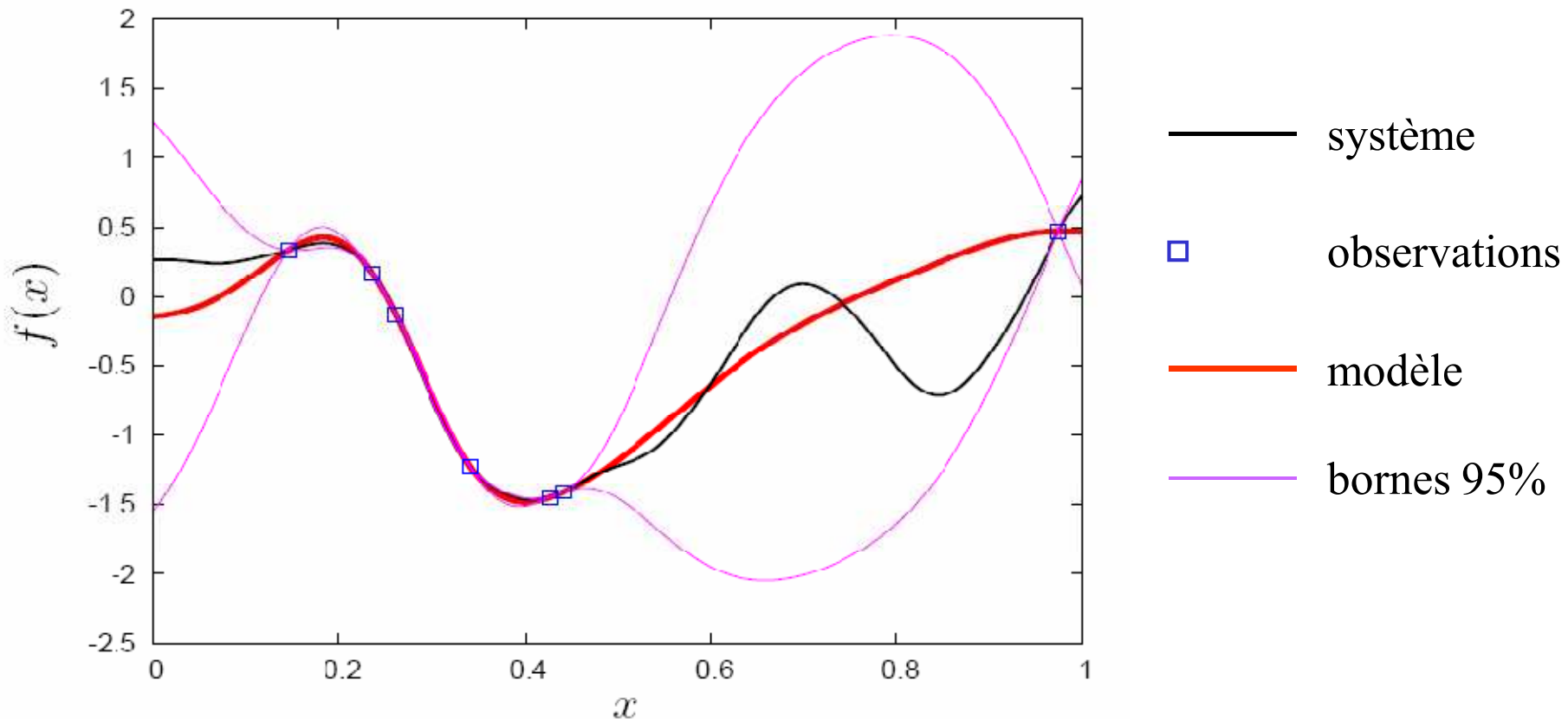
- covariance  $k(x_i, x_j) = E\{\omega(x_i)\omega(x_j)\}$

→ modèle : structure de la covariance

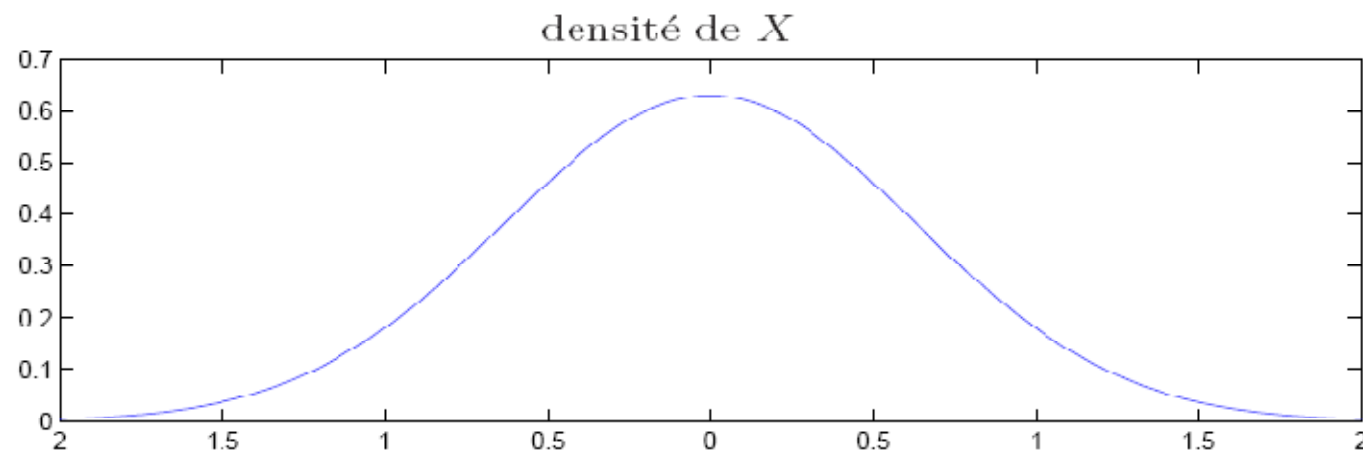
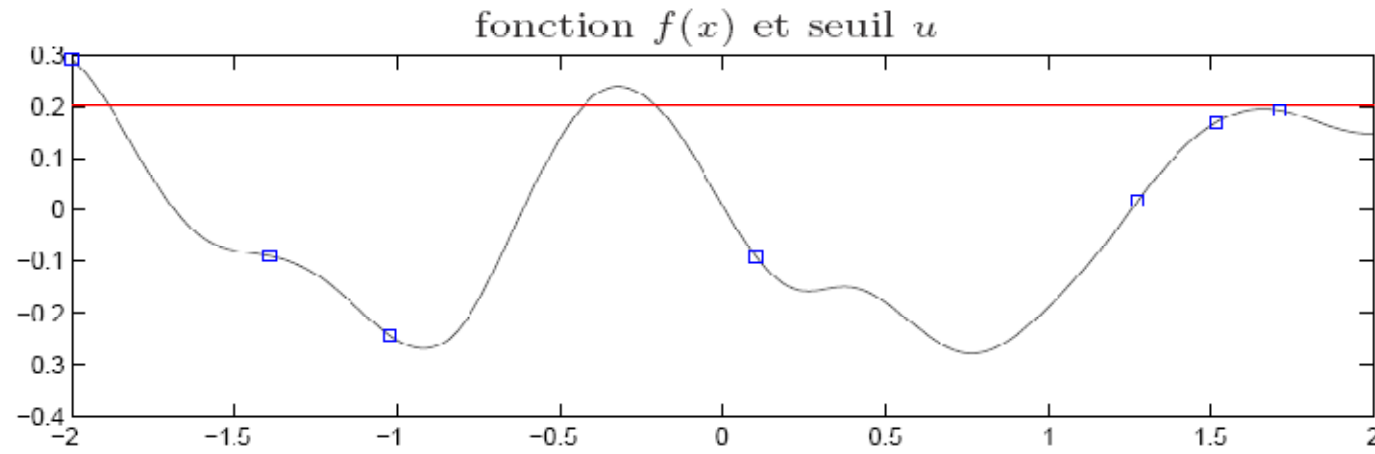
$$k(x_i, x_j) = k(x_i - x_j) = k(h)$$

ex.  $k(h) = \exp(-h^2/\rho^2)$  ...

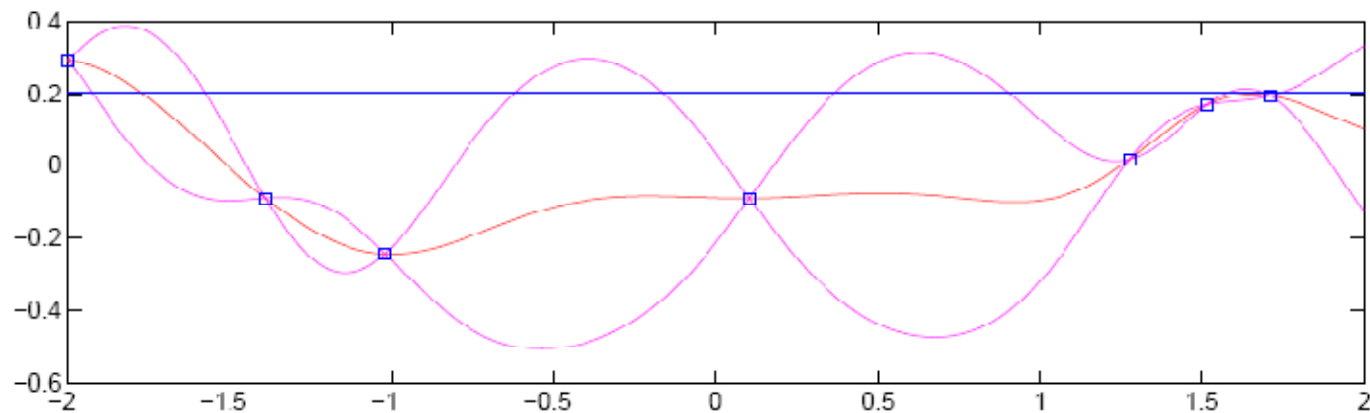
■ *Exemple*



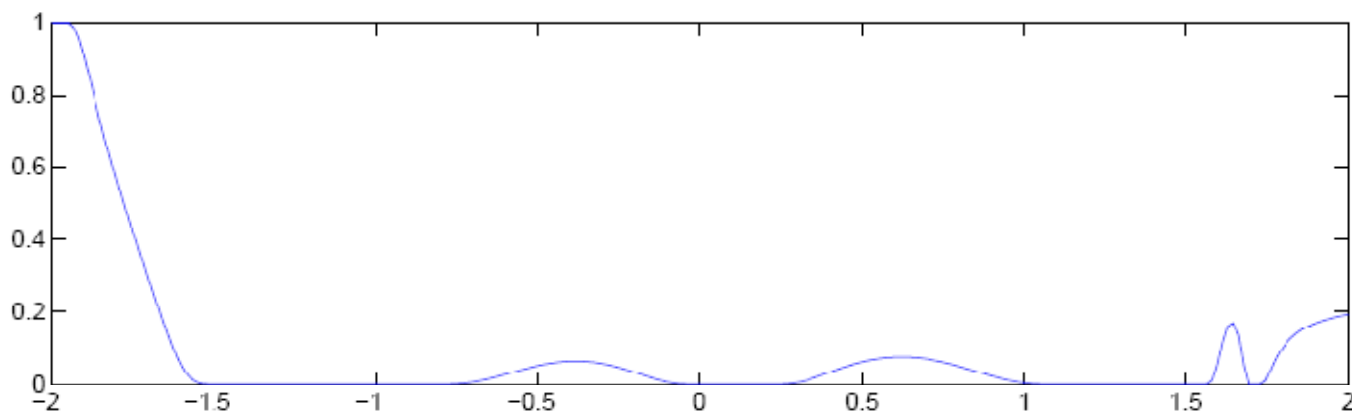
- Modélisation des incertitudes
  - approches paramétriques
  - approches non paramétriques
- Choix d'un modèle de système
  - choix de la complexité d'un modèle
  - choix d'un modèle de comportement
  - choix de la paramétrisation d'un modèle
  - vers des méta-modèles
- Aides à la prise de décision
  - Estimation d'évènements rares
  - Optimisation d'un système complexe
- Exemples d'application

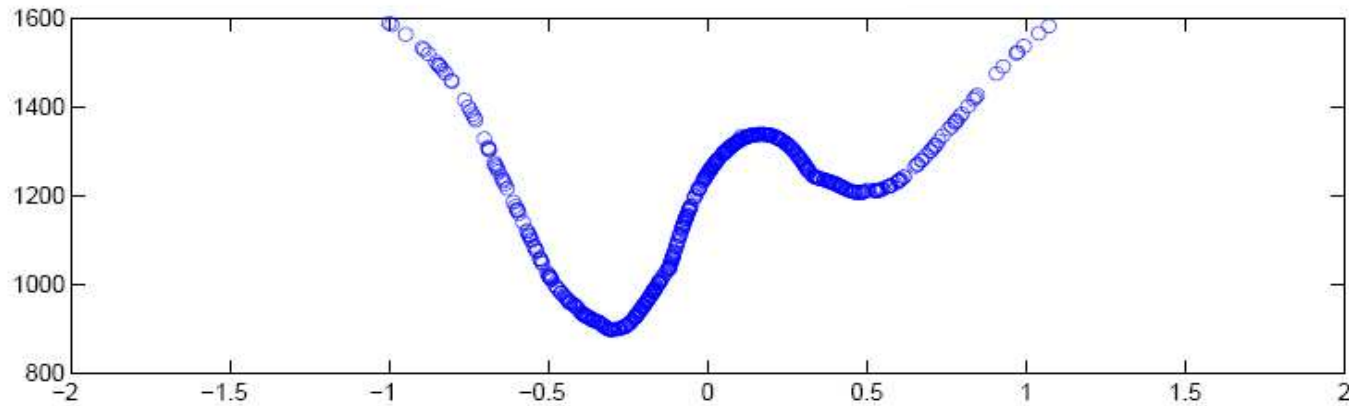
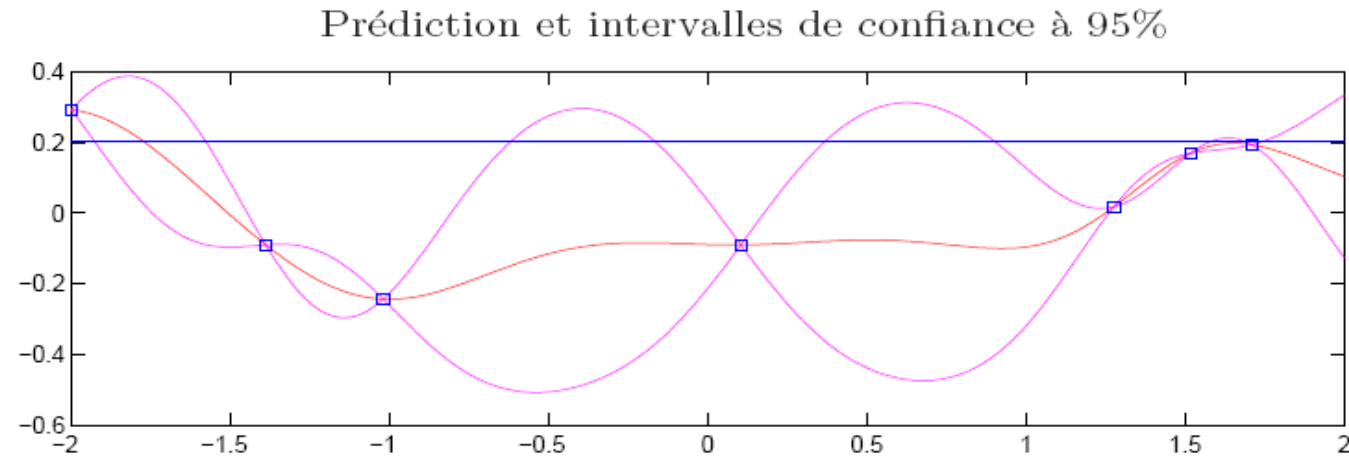


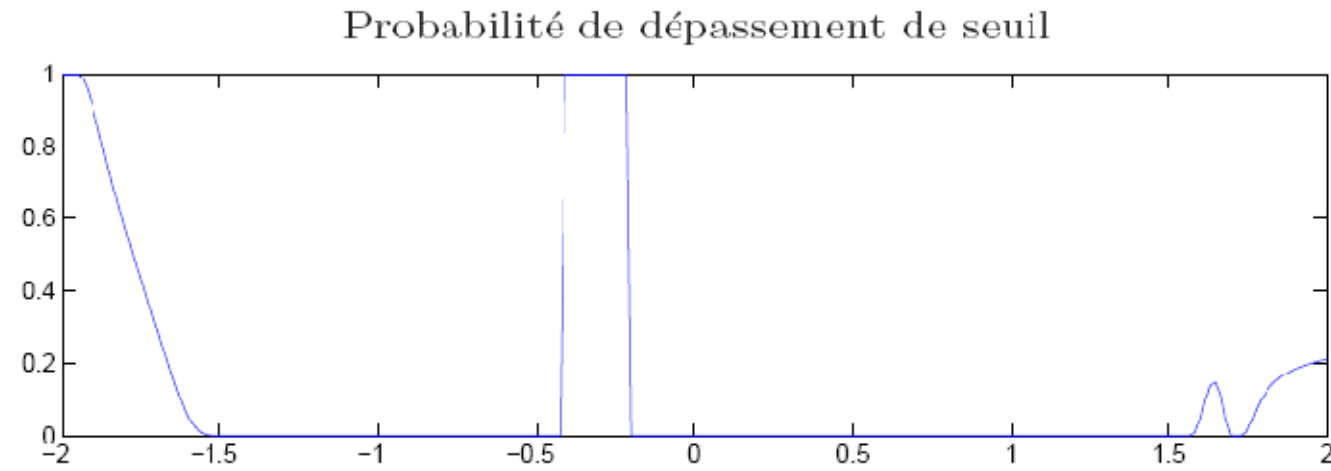
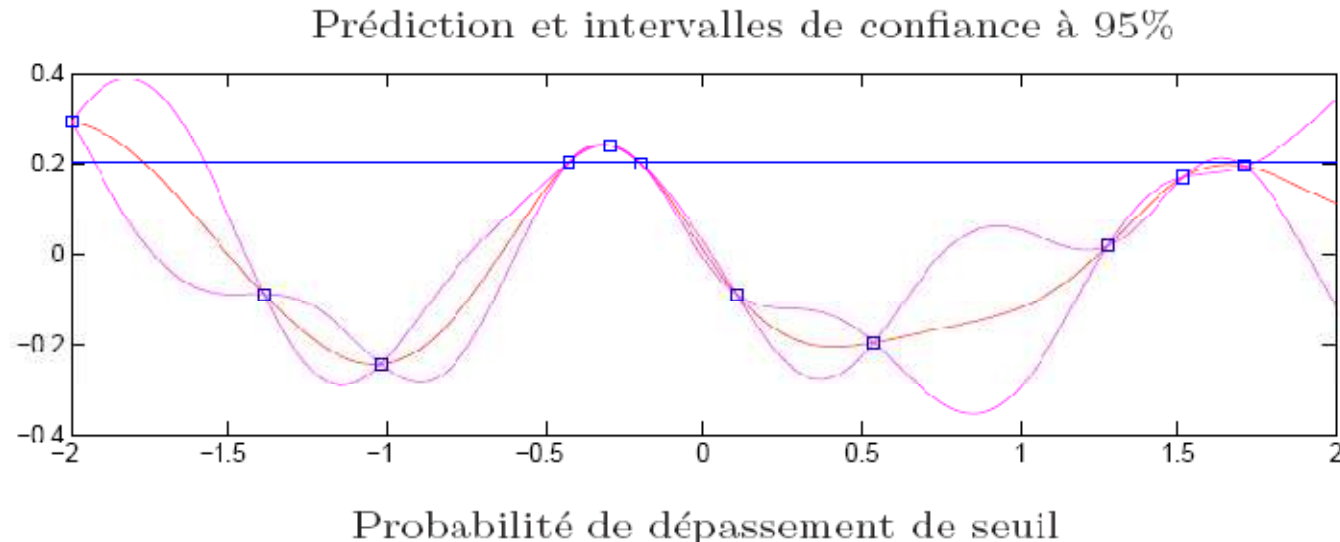
Prédiction et intervalles de confiance à 95%



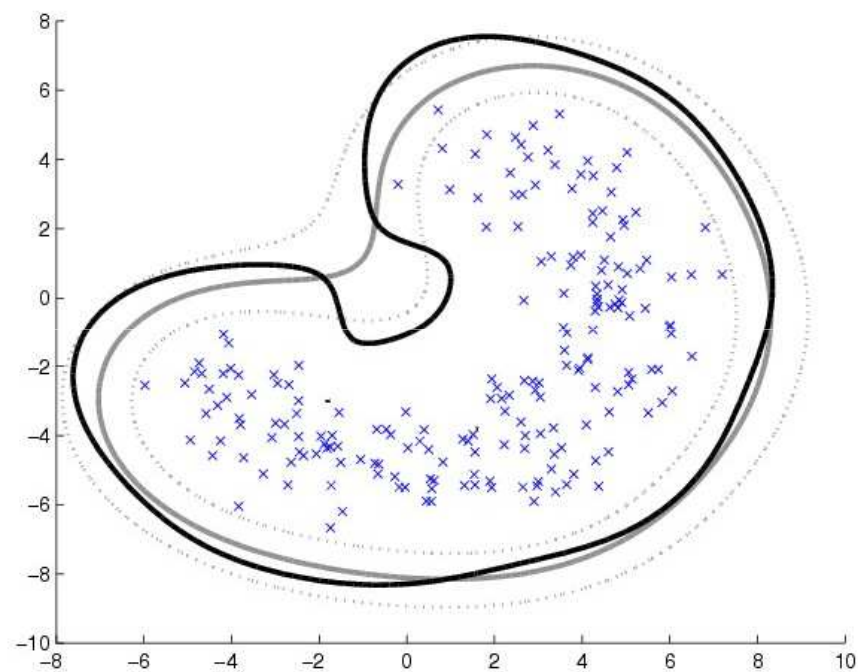
Probabilité de dépassement de seuil



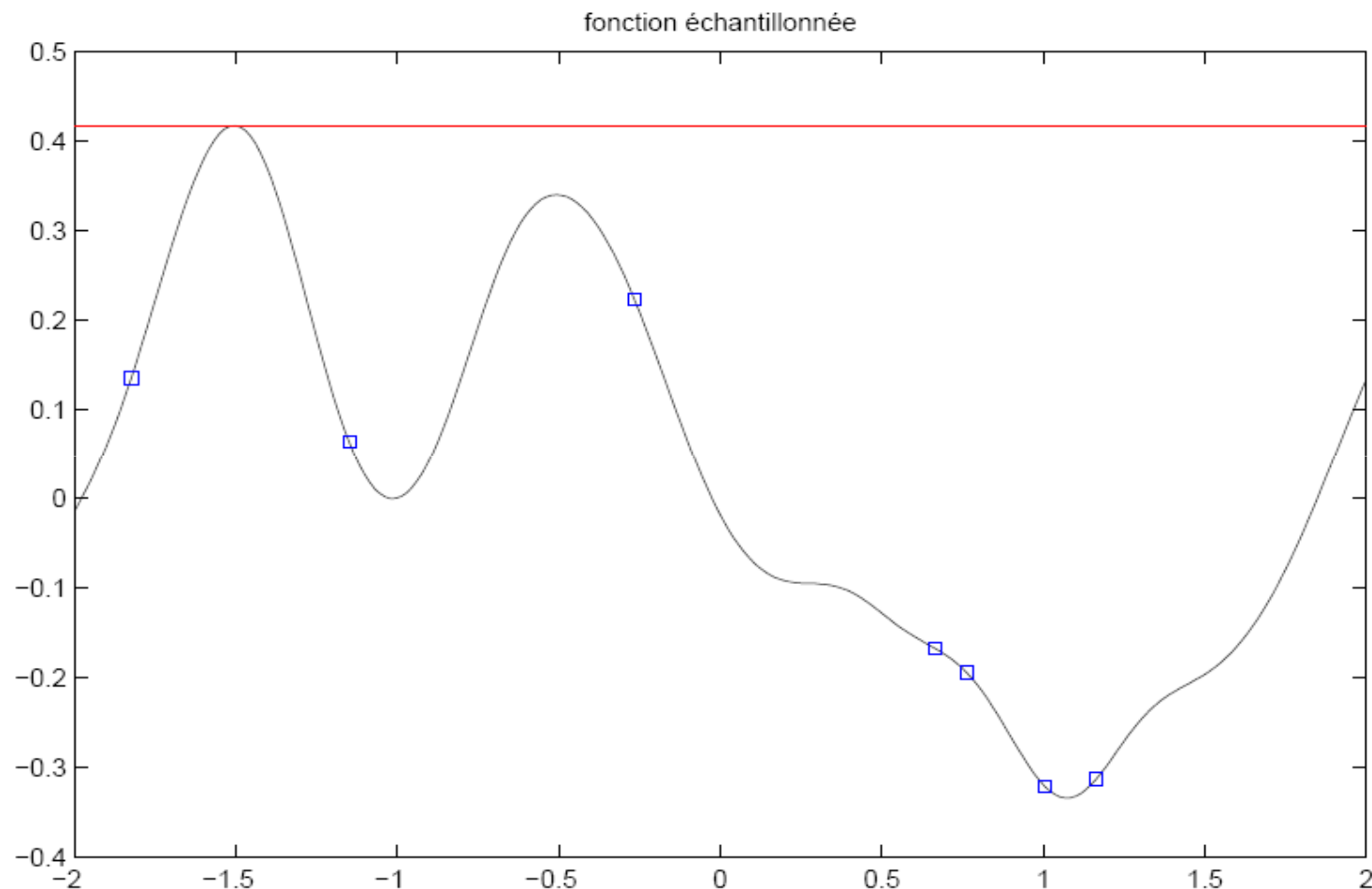


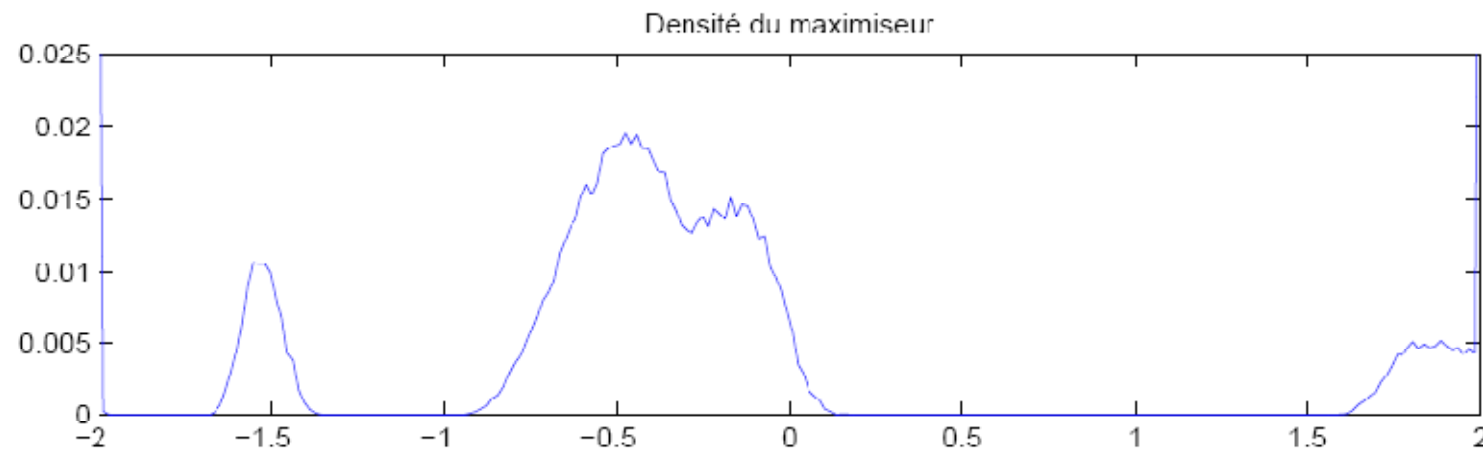
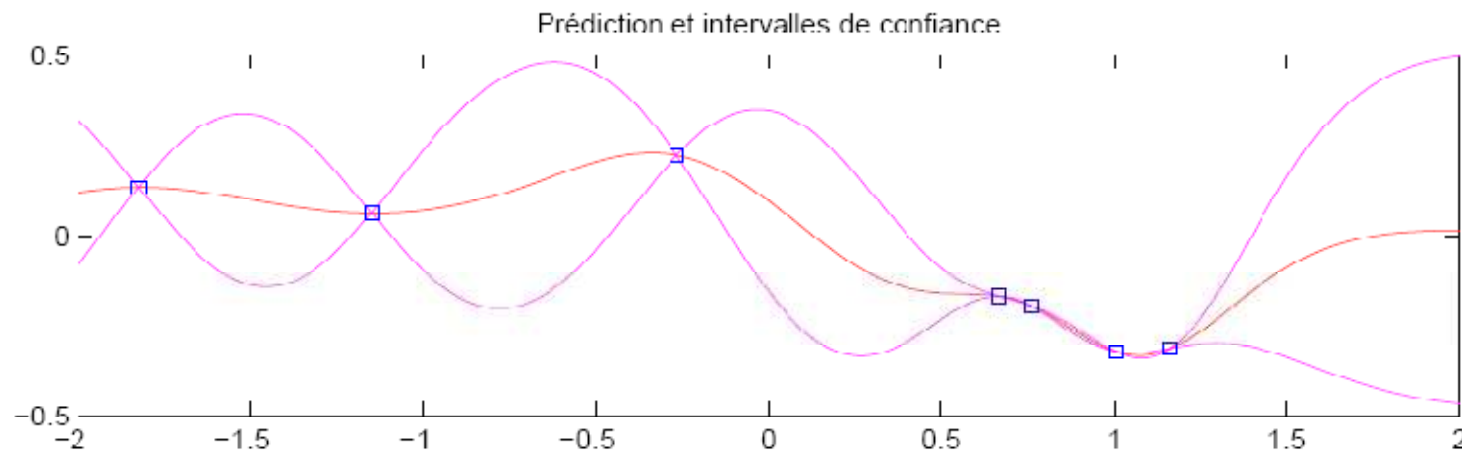


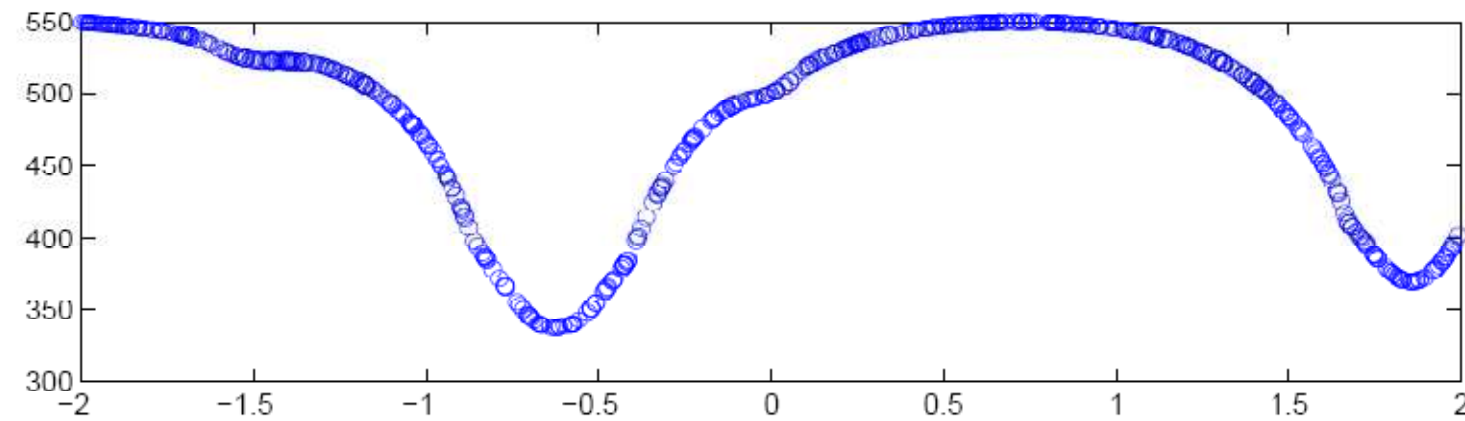
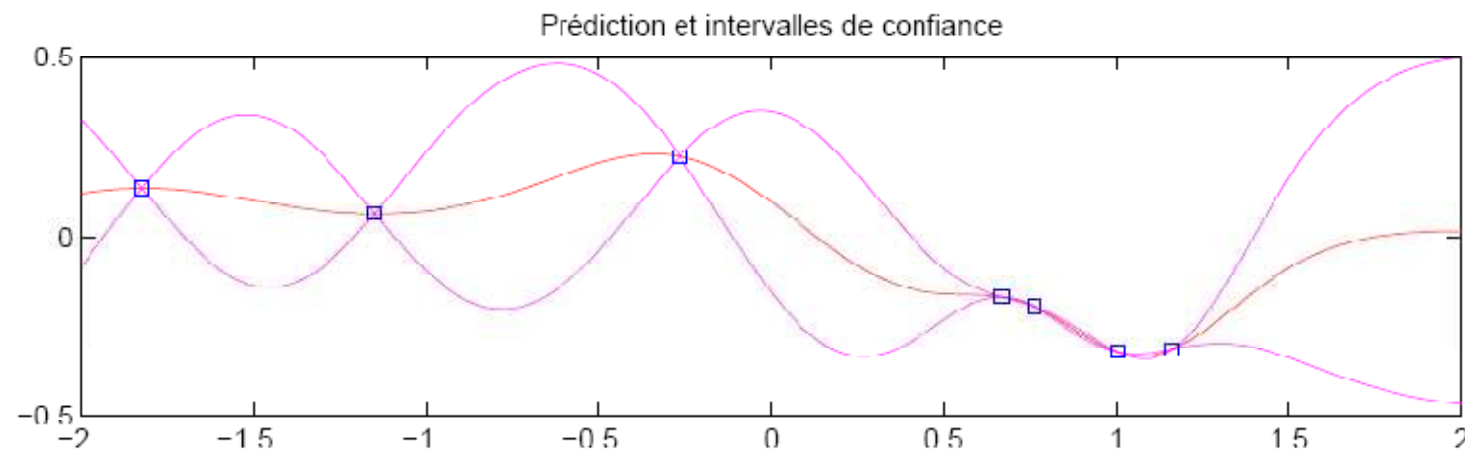
*Estimation d'un quantile à 99.9%  
à partir de 200 données par classification  
SVM et utilisation de la théorie statistique  
des valeurs extrêmes*

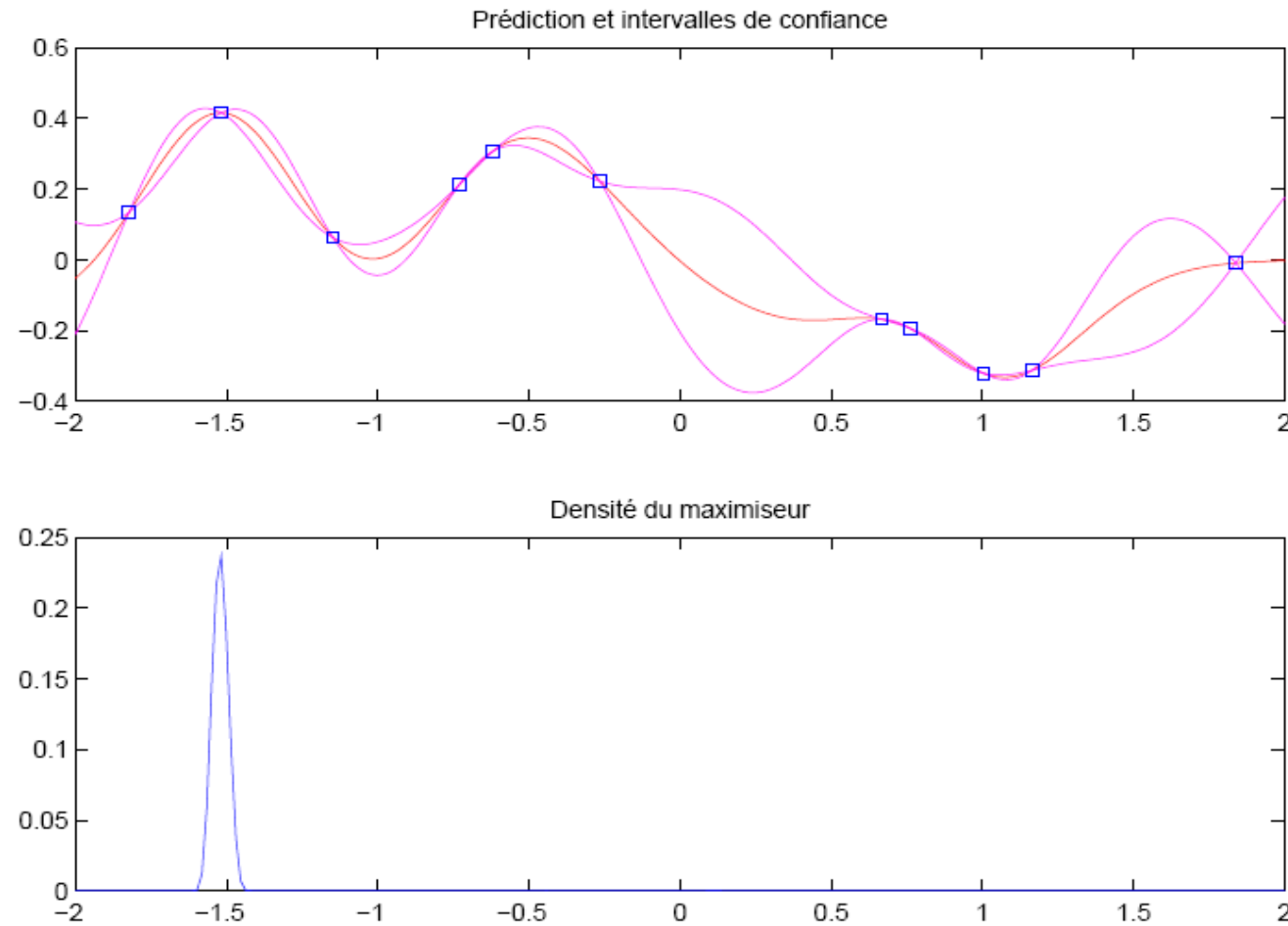


Détermination de quantiles multidimensionnels extrêmes et détection d'*outliers*  
[M. Piera-Martinez et E. Vazquez (2006)]





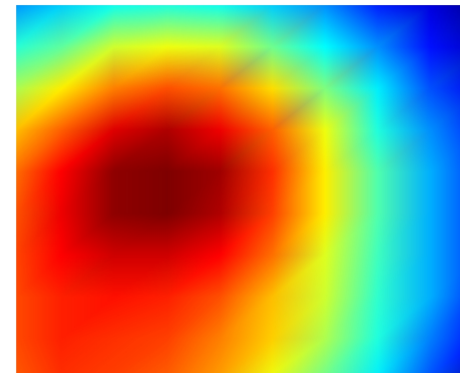
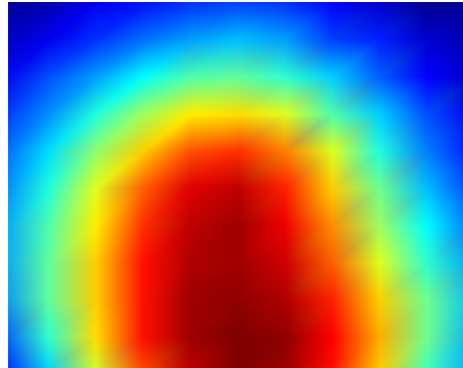




Informational Approach to Global Optimization **IAGO**  
[J. Villemonteix et E. Vazquez (2007)]

- Modélisation des incertitudes
  - approches paramétriques
  - approches non paramétriques
- Propagation des incertitudes
  - par approximations
  - par simulations
- Choix d'un modèle de système
  - choix d'un modèle de comportement
  - vers des méta-modèles
- Aides à la prise de décision
  - Estimation d'évènements rares
  - Optimisation d'un système complexe
- Exemples d'application

■ *Estimation de SAR (GSM)*



*Données :*

- champ électromagnétique mesuré (norme : 3D, **600 points**)
- 70 portables testés

*Méthodes :*

- réseaux de neurones
- **modélisation paramétrique** (11 ddl) → **20 points**

*Conclusion :*

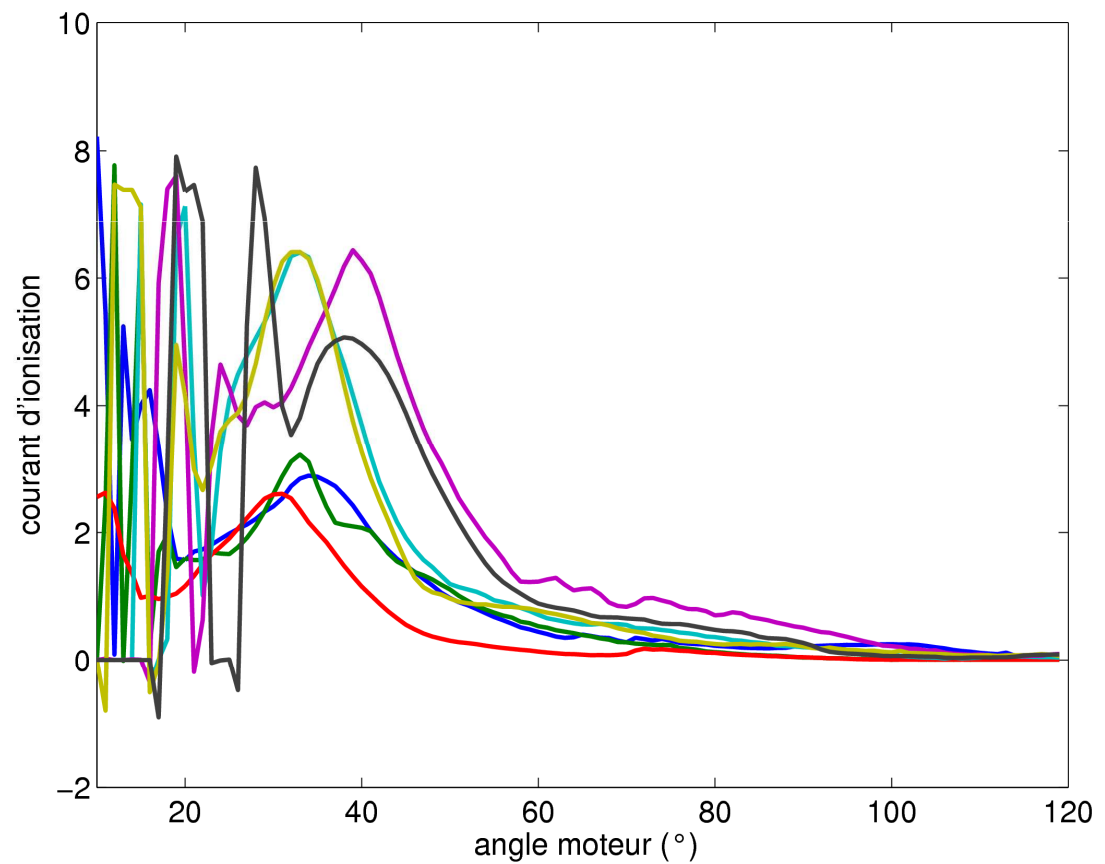
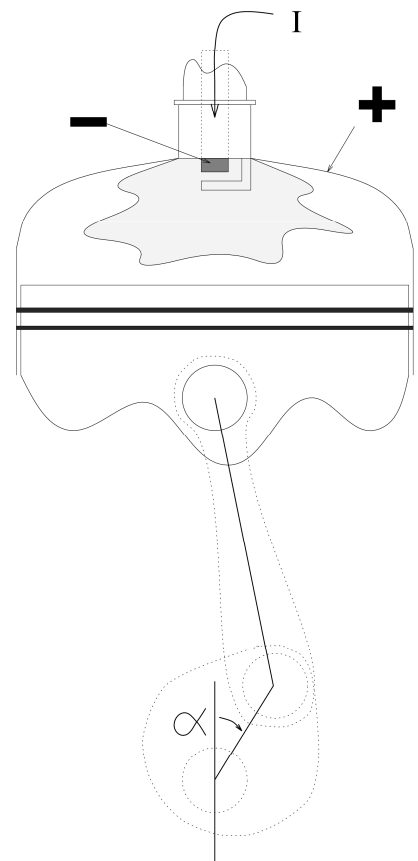
estimation du SAR avec une très bonne précision

■ *Estimation de l'angle vilebrequin ( $P_{max}$ )*

Problématiques de détection / estimation / classification / inversion

Estimation d'une grandeur d'intérêt  $y$  inaccessible directement

On dispose cependant de grandeurs  $x$  contenant de l'information sur  $y$



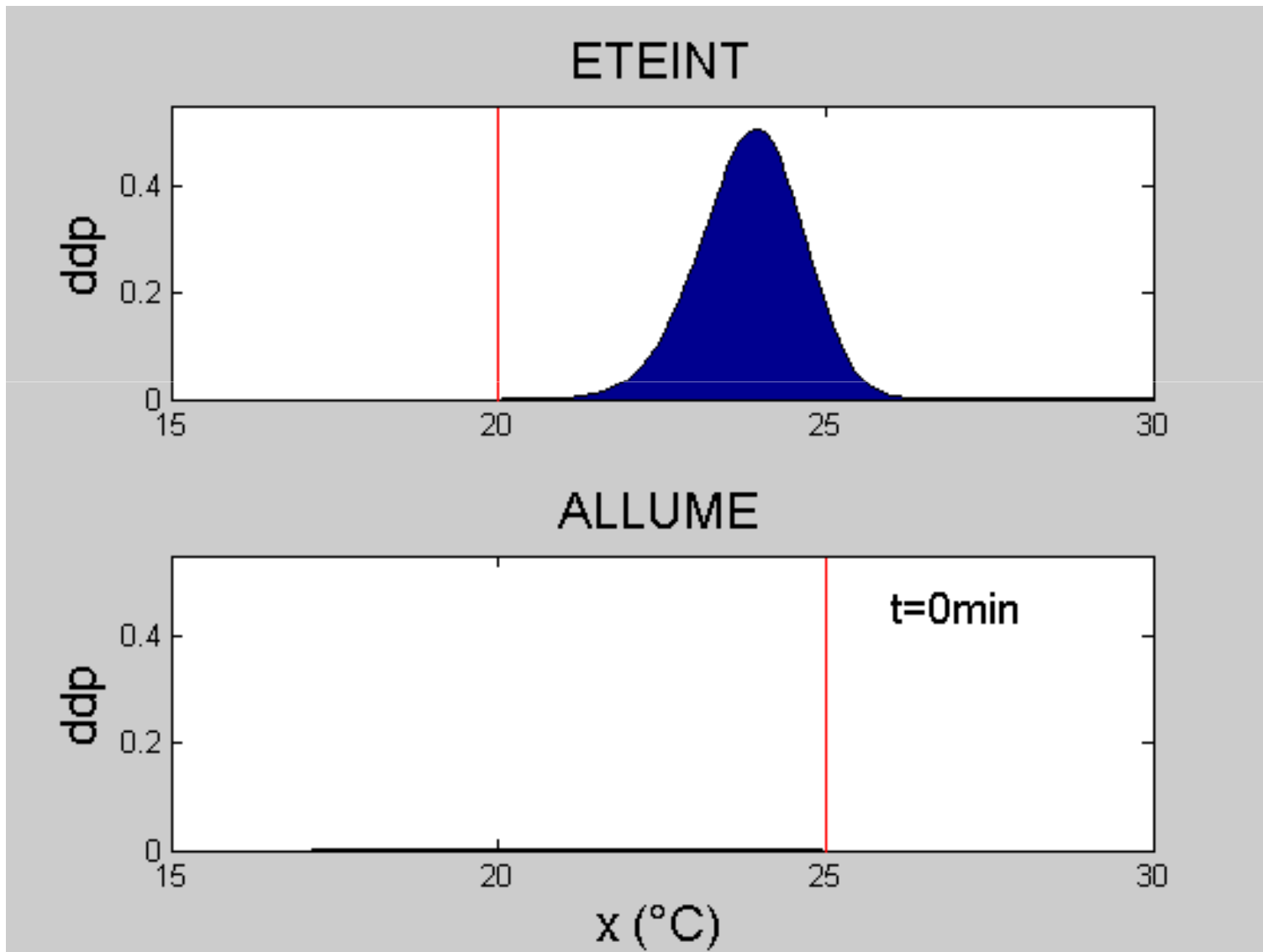
## ■ *Optimisation d'un conduit d'admission*



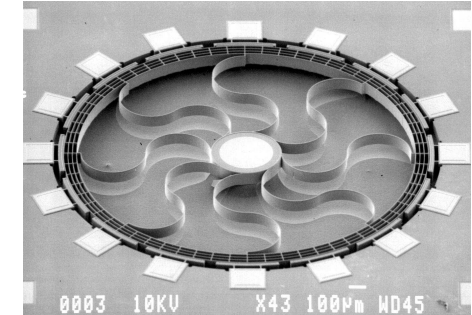
conduit d'admission

- Forme du conduit paramétrée (5 à 20 facteurs)
- Importance de la forme du conduit :
  - impact sur la performance moteur (débit d'air)
  - impact sur les émissions polluantes (turbulences)
- 1 simulation = 5 à 24 heures de calcul

■ *Systèmes hybrides stochastiques (thermostat)*



- L'aléatoire est assez incontournable du fait
  - de la *méconnaissance*
  - de *perturbations* de l'environnement
  - de la *miniaturisation* des composants
  - de la *complexité* croissante des systèmes
- L'aléatoire est un modèle qui permet
  - d'éviter la *surparamétrisation*
  - d'éviter de surestimer des *marges de sécurité*
  - de quantifier la *robustesse* de systèmes
- De nombreux travaux en cours
  - recherche
  - applications
  - regroupement de partenaires... (MASCOTNUM, ISRI, CSDL, ...)





Supélec

MERCI

... questions